

**ITINERARIO INTERNAZIONALE E78
S.G.C. GROSSETO - FANO
ADEGUAMENTO A 4 CORSIE
NEL TRATTO GROSSETO - SIENA (S.S. 223 "DI PAGANICO")
DAL KM 41+600 AL KM 53+400 - LOTTO 9**

PROGETTO ESECUTIVO

COD. **FI15**

PROGETTAZIONE: ATI SINTAGMA - GDG - ICARIA

IL RESPONSABILE DELL'INTEGRAZIONE DELLE PRESTAZIONI SPECIALISTICHE:

Dott. Ing. Nando Granieri
Ordine degli Ingegneri della Prov. di Perugia n° A351

IL PROGETTISTA:

Dott. Ing. Federico Durastanti
Ordine degli Ingegneri della Prov. di Terni n° A844

IL GEOLOGO:

Dott. Geol. Giorgio Cerquiglini
Ordine dei Geologi della Regione Umbria n°108

IL R.U.P.

Dott. Ing.
Raffaele Franco Carso

IL COORDINATORE PER LA SICUREZZA IN FASE DI PROGETTAZIONE:

Dott. Ing. Filippo Pambianco
Ordine degli Ingegneri della Prov. di Perugia n° A1373

PROTOCOLLO

DATA

IL GRUPPO DI PROGETTAZIONE:

MANDATARIA:

MANDANTI:



Dott. Ing. N. Granieri
Dott. Arch. N. Kamenicky
Dott. Ing. V. Truffini
Dott. Arch. A. Bracchini
Dott. Ing. F. Durastanti
Dott. Ing. E. Bartolucci
Dott. Geol. G. Cerquiglini
Geom. S. Scopetta
Dott. Ing. L. Sbrenna
Dott. Ing. E. Sellari
Dott. Ing. L. Dinelli
Dott. Ing. L. Nani
Dott. Ing. F. Pambianco
Dott. Agr. F. Berti Nulli

Dott. Ing. D. Carlacchini
Dott. Ing. S. Sacconi
Dott. Ing. A. Rea
Dott. Ing. V. De Gori
Dott. Ing. C. Consorti
Geom. F. Dominici

Dott. Ing. V. Rotisciani
Dott. Ing. F. Macchioni
Geom. C. Vischini
Dott. Ing. V. Piunno
Dott. Ing. G. Pulli
Geom. C. Sugaroni



**VIADOTTI
VIADOTTO SUL FIUME MERSE SX
Relazione di calcolo opere provvisionali**

CODICE PROGETTO			NOME FILE	REVISIONE	SCALA:
PROGETTO	LIV. PROG.	N. PROG.	T00-VI03-STR-RE05		
L O F I 1 5	E	1 9 0 1	CODICE ELAB. T 0 0 V I 0 3 S T R R E 0 5	A	-
A	Emissione		28/02/2020	M. Botta	E. Bartolucci N. Granieri
REV.	DESCRIZIONE		DATA	REDATTO	VERIFICATO APPROVATO

INDICE

1. PREMESSA.....	2
2. NORMATIVA DI RIFERIMENTO.....	3
3. CARATTERISTICHE DEI MATERIALI	4
4. CARATTERIZZAZIONE GEOTECNICA	5
5. MODELLAZIONE NUMERICA.....	6
5.1 PROGRAMMI PER L’ANALISI AUTOMATICA.....	6
5.2 MODELLO DI CALCOLO	6
6. ANALISI DEI CARICHI.....	8
6.1 CONDIZIONI DI CARICO ELEMENTARI	8
6.1.1 Peso Proprio.....	8
6.1.2 Spinta statica delle terre.....	8
6.1.3 Spinta statica dell’acqua	10
6.1.4 Spinta da sovraccarico accidentale.....	10
6.1.5 Azione sismica	10
6.2 COMBINAZIONI DI CARICO.....	10
7. ANALISI DEI RISULTATI	12
7.1 ANALISI DELLE SOLLECITAZIONI.....	12
7.2 ANALISI DEGLI SPOSTAMENTI.....	15
8. VERIFICHE	16
8.1 VERIFICHE DI STABILITÀ GLOBALE.....	16
8.2 VERIFICHE GEOTECNICHE.....	17
8.3 VERIFICHE STRUTTURALI	17
9. ALLEGATO.....	19

1.PREMESSA

Il presente documento viene emesso nell’ambito della redazione degli elaborati tecnici relativi alla progettazione esecutiva dell’ampliamento da 2 a 4 corsie dell’Itinerario internazionale E78 S.G.C. Grosseto – Fano, Lotto 9.

Oggetto della presente relazione sono le analisi e le verifiche statiche delle opere provvisoriale previste per la realizzazione del viadotto VI02.

Per sostenere lo scavo durante la fase di costruzione, si prevede la costruzione di una paratia di micropali di diametro Ø300, lunghezza 20m, posti ad interasse 0.40 m ed armati con un tubolare Ø 244.5 spessore 12.5mm. Sono stati previsti micropali Ø 300 disposti “a cavalletto” con inclinazione di 80° rispetto al piano orizzontale, interasse 1.20m e collegati al cordolo in c.a. di testa. In sommità è prevista la realizzazione di un cordolo 50 cm x 50 cm.

Le strutture sono progettate coerentemente con quanto previsto dalla normativa vigente, Norme Tecniche delle Costruzioni 2018.

2. NORMATIVA DI RIFERIMENTO

Il progetto è stato redatto sulla base delle seguenti normative e standard progettuali:

- L. 1086 05.11.1971 – “Norme per la disciplina delle opere in conglomerato cementizio armato normale e precompresso ed a struttura metallica”.
- Legge n. 64 del 2 febbraio 1974 – “Provvedimenti per le costruzioni con particolari prescrizioni per le zone sismiche”.
- Decreto Ministeriale del 17/01/2018 - “Norme Tecniche per le Costruzioni”.
- UNI EN 206-1:2016, “Calcestruzzo – Parte 1: specificazione, prestazione, produzione e conformità”;
- UNI 11104-2016, “Calcestruzzo – Parte 1: specificazione, prestazione, produzione e conformità - Istruzioni complementari per l’applicazione della EN 206-1”;
- UNI EN 1992-1-1 – 2005: “Eurocodice 2 – Progettazione delle strutture di calcestruzzo - Parte 1-1: Regole generali e regole per gli edifici”;
- UNI EN 1993-1-1 – 2005: “Eurocodice 3 – Progettazione delle strutture in acciaio”;
- UNI-EN 1997-1 - 2005: “Eurocodice 7. Progettazione geotecnica. Parte 1: Regole generali”;
- UNI-EN 1998-1 - 2005: “Eurocodice 8: Progettazione delle strutture per la resistenza sismica. Parte 1: Regole generali, azioni sismiche e regole per gli edifici”.
- UNI-EN 1998-5 - 2005: “Eurocodice 8: Progettazione delle strutture per la resistenza sismica. Parte 5: Fondazioni, strutture di contenimento ed aspetti geotecnici”.
- UNI EN 1537: “Esecuzione di lavori geotecnici speciali - Tiranti di ancoraggio”.

3.CARATTERISTICHE DEI MATERIALI

Calcestruzzo per cordoli

Resistenza cubica caratteristica	R_{ck}	=	35.0	N/mm ²
Rapporto A/C		<	0.60	
Cemento per mc di impasto		=	300	Kg
Classe di esposizione			XC2	
Copriferro			35	mm

Acciaio per armatura B450C

Tensione caratteristica di snervamento	f_{yk}	≥	450	N/mm ²
Tensione caratteristica di calcolo	f_{yd}	≥	391.3	N/mm ²
Modulo di elasticità	E_s	=	210000	N/mm ²

Acciaio per carpenteria metallica

Tubolari micropali	Acciaio	S275
--------------------	---------	------

Malte e miscele per micropali

Classe di resistenza minima a compressione:	C 25/30
---	---------

4. CARATTERIZZAZIONE GEOTECNICA

Si riportano di seguito i parametri di resistenza e deformabilità dei terreni attraversati in accordo con la caratterizzazione geotecnica.

Unità geotecniche		Unità geologiche		γ	c'	φ'	z	c_u	E'	OCR
				[kN/m ³]	[kPa]	[°]	[m da p.c.]	[kPa]	[MPa]	[-]
A	Sabbia e ghiaia	at, at2, at3	alluvioni fluviali terrazzate recenti e antiche	19.5	10÷20	25÷27	0÷2	-	5÷20	-
							>2		25÷50	
B	Argilliti	Pb	Argille a Palombini	20	10÷25	28÷30	0÷20	150÷250	50÷120	3÷5
							>20	100÷200	100÷220	1.5÷3
C	Calcare/Ghiaia	CV	Calcare Cavernoso	21	10÷15	34÷35	0÷10	-	40÷80	-
							>10		60÷120	
D	Breccia/Ghiaia	CM	Brecce di Grotti	19	0	35÷37	0÷20	-	50÷100	-
							>20		100÷200	
E	Argille/Limi	dl, Pa, Ps	Depositi lacustri, argille e sabbie plioceniche	19.5	10÷30	23÷25	0÷20	100÷200	40÷80	3÷5
							>20		80÷120	1.5÷3

Tabella 1: Caratterizzazione geotecnica

La quota della falda è posta a -0.50m dal fondo scavo provvisorio.

5. MODELLAZIONE NUMERICA

5.1 Programmi per l'analisi automatica

Lo stato tenso-deformativo e le verifiche strutturali della paratia sono state sviluppate mediante il software di calcolo *PARATIEPLUS*.

5.2 Modello di calcolo

Lo stato tenso-deformativo è stato investigato mediante il software di calcolo *PARATIE PLUS*, programma non lineare agli elementi finiti per l'analisi di strutture di sostegno flessibili.

Si è considerato un comportamento piano nelle deformazioni, analizzando una striscia di parete di larghezza unitaria. La realizzazione dello scavo sostenuto da paratie è seguita in tutte le varie fasi attraverso un'analisi statica incrementale: ogni passo di carico coincide con una ben precisa configurazione caratterizzata da una quota di scavo, da un insieme di puntoni e tiranti applicati e da una ben precisa disposizione di carichi applicati.

I modelli sono stati realizzati ponendo il sistema di riferimento a quota testa paratia e approfondendo l'altezza di scavo; la quota della falda proposta nel modello e indicata al capitolo 4, è corente con quanto indicato nel profilo geologico e viene definita a partire dal fondo scavo, corrispondente al piano di imposta delle fondazioni delle spalle. I micropali a cavalletto sono inseriti nel programma sottoforma di tiranti.

Nella modellazione è implementata la seguente successione di step:

Step 1: Condizione Geostatica: realizzazione della paratia ed applicazione dei carichi relativi alla fase di costruzione.

Step 2: Scavo per il raggiungimento del fondo scavo.

Nella definizione della quota di fondo scavo si è tenuto conto di quanto prescritto dalla normativa NTC 2018 § 6.5.2.2, approfondendo lo scavo del valore minimo tra il 10% dell'altezza massima di scavo e 0.50m.

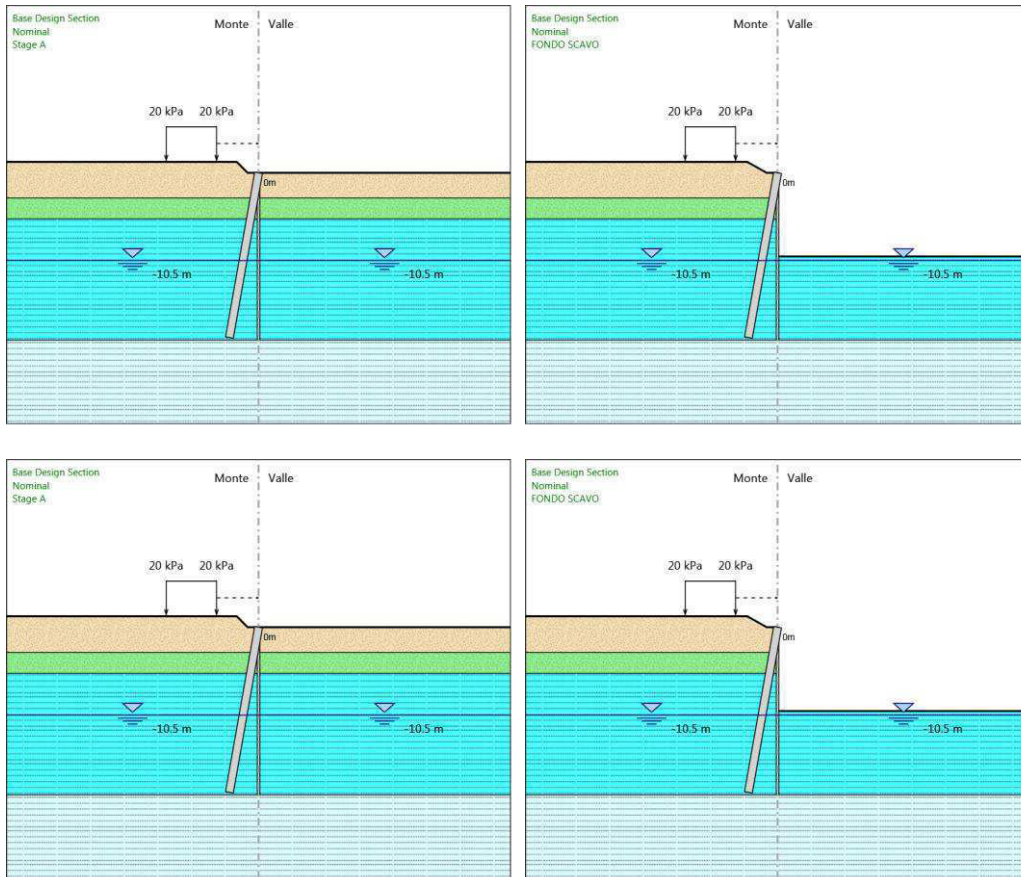


Tabella 2: stage di analisi

Per maggiori dettagli si rimanda agli allegati di calcolo.

6. ANALISI DEI CARICHI

6.1 Condizioni di carico elementari

6.1.1 Peso Proprio

Il peso proprio della struttura è calcolato in base alla geometria degli elementi strutturali e al peso specifico assunto per i materiali:

$$\gamma_{cls} = 25.0 \text{ kN/m}^3$$

6.1.2 Spinta statica delle terre

Nel modello di calcolo impiegato dal software di calcolo PARATIE, la spinta del terreno viene determinata investigando l'interazione statica tra terreno e la struttura deformabile a partire da uno stato di spinta a riposo del terreno sulla paratia.

I parametri che identificano il tipo di legge costitutiva possono essere distinti in due sottoclassi: parametri di spinta e parametri di deformabilità del terreno.

I parametri di spinta sono il coefficiente di spinta a riposo K_0 , il coefficiente di spinta attiva K_a e il coefficiente di spinta passiva K_p .

Il coefficiente di spinta a riposo fornisce lo stato tensionale presente in sito prima delle operazioni di scavo. Esso lega la tensione orizzontale efficace σ'_h a quella verticale σ'_v attraverso la relazione:

$$\sigma'_h = K_0 \cdot \sigma'_v$$

K_0 dipende dalla resistenza del terreno, attraverso il suo angolo di attrito efficace ϕ' e dalla sua storia geologica. Si può assumere che:

$$K_0 = K_0^{NC} \cdot (OCR)^m$$

dove

$$K_0^{NC} = 1 - \tan \phi'$$

è il coefficiente di spinta a riposo per un terreno normalconsolidato ($OCR=1$). OCR è il grado di sovraconsolidazione e m è un parametro empirico, di solito compreso tra 0.4 e 0.7.

I coefficienti di spinta attiva e passiva sono forniti dalla teoria di Rankine per una parete liscia dalle seguenti espressioni:

$$K_a = \tan^2(45 - \phi'/2)$$

$$K_p = \tan^2(45 + \phi'/2)$$

Per tener conto dell'angolo di attrito δ tra paratia e terreno il software PARATIE impiega per K_a e K_p la formulazione rispettivamente di Coulomb e Caquot – Kereisel.

Formulazione di Coulomb per k_a

$$k_a = \frac{\cos^2(\varphi' - \beta)}{\cos^2 \beta \cdot \cos(\beta + \delta) \cdot \left[1 + \sqrt{\frac{\sin(\delta + \varphi') \cdot \sin(\varphi' - i)}{\cos(\beta + \delta) \cdot \cos(\beta - i)}} \right]^2}$$

dove:

φ' è l'angolo di attrito del terreno

β è l'angolo d'inclinazione del diaframma rispetto alla verticale

δ è l'angolo di attrito paratia-terreno

i è l'angolo d'inclinazione del terreno a monte della paratia rispetto all'orizzontale

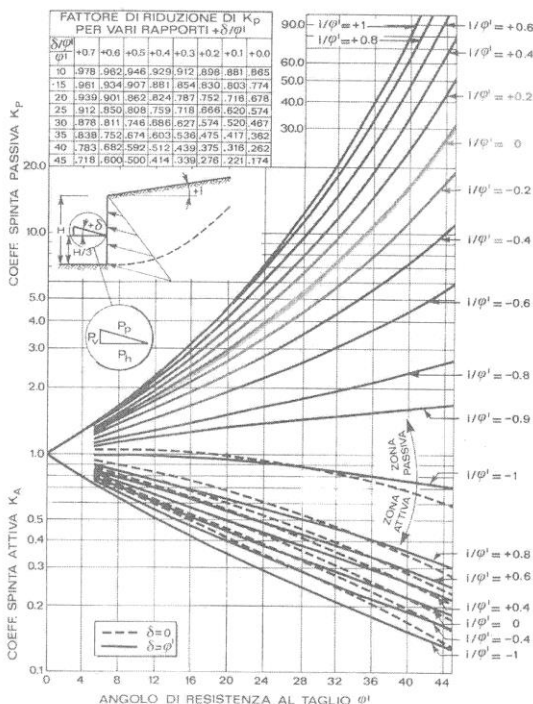
Il valore limite della tensione orizzontale sarà pari a

$$\sigma'_h = K_a \cdot \sigma'_v - 2 \cdot c' \cdot \sqrt{K_a}$$

$$\sigma'_h = K_p \cdot \sigma'_v + 2 \cdot c' \cdot \sqrt{K_p}$$

a seconda che il collasso avvenga in spinta attiva o passiva rispettivamente. c' è la coesione drenata del terreno.

Formulazione di Caquot – Keresel per k_p



6.1.3 Spinta statica dell'acqua

La spinta dell'acqua è proporzionale alla profondità a partire dalla quota di falda.

6.1.4 Spinta da sovraccarico accidentale

Il sovraccarico accidentale di superficie è assunto pari a 20 kPa, riprodotto il traffico stradale attivo sull'eventuale carreggiata presente a tergo delle opere.

6.1.5 Azione sismica

L'azione sismica è stata omessa in quanto il progetto prevede un periodo di costruzione dell'opera in esame inferiore a 2 anni.

6.2 Combinazioni di carico

La verifica di stabilità globale del complesso opera di sostegno-terreno è stata effettuata secondo la Combinazione 2 (A2+M2+R2) dell'Approccio 1, tenendo conto dei coefficienti parziali riportati nelle Tabelle 6.2.I, 6.2.II e 6.8.I delle NTC 2018.

Le rimanenti verifiche sono state effettuate secondo l'Approccio 1 considerando le due combinazioni di coefficienti:

- Combinazione 1: (A1+M1+R1)

➤ Combinazione 2: (A2+M2+R1)

tenendo conto dei valori dei coefficienti parziali riportati nelle Tabelle 6.2.I e 6.2.II, con i coefficienti γ_R del gruppo R1 pari all'unità.

In particolare nelle verifiche nei confronti di stati limite ultimi geotecnici, si è considerato lo sviluppo di meccanismi di collasso determinati dalla mobilitazione della resistenza del terreno. Le analisi sono state condotte con la Combinazione 2 (A2+M2+R1), nella quale i parametri di resistenza del terreno sono ridotti tramite i coefficienti parziali del gruppo M2, i coefficienti γ_R sulla resistenza globale (R1) sono unitari e le sole azioni variabili sono amplificate con i coefficienti del gruppo A2.

Nelle verifiche nei confronti di stati limite per raggiungimento della resistenza negli elementi strutturali, le analisi sono state svolte utilizzando la Combinazione 1 (A1+M1+R1), nella quale i coefficienti sui parametri di resistenza del terreno (M1) e sulla resistenza globale del sistema (R1) sono unitari, mentre le azioni permanenti e variabili sono amplificate mediante i coefficienti parziali del gruppo A1.

	Effetto	Coefficiente Parziale γ_F (o γ_E)	EQU	(A1)	(A2)
Carichi permanenti G_1	Favorevole	γ_{G1}	0,9	1,0	1,0
	Sfavorevole		1,1	1,3	1,0
Carichi permanenti $G_2^{(1)}$	Favorevole	γ_{G2}	0,8	0,8	0,8
	Sfavorevole		1,5	1,5	1,3
Azioni variabili Q	Favorevole	γ_Q	0,0	0,0	0,0
	Sfavorevole		1,5	1,5	1,3

⁽¹⁾ Per i carichi permanenti G_2 si applica quanto indicato alla Tabella 2.6.I. Per la spinta delle terre si fa riferimento ai coefficienti γ_{G1}

Tabella 3- Coefficienti parziali per le azioni o per l'effetto delle azioni (Tab. 6.2.I NTC2018)

Parametro	Grandezza alla quale applicare il coefficiente parziale	Coefficiente parziale γ_M	(M1)	(M2)
Tangente dell'angolo di resistenza al taglio	$\tan \varphi'_k$	$\gamma_{\varphi'}$	1,0	1,25
Coesione efficace	c'_k	$\gamma_{c'}$	1,0	1,25
Resistenza non drenata	c_{uk}	γ_{cu}	1,0	1,4
Peso dell'unità di volume	γ_γ	γ_γ	1,0	1,0

Tabella 4- Coefficienti parziali per i parametri geotecnici del terreno (Tab.6.2.II NTC2018)

COEFFICIENTE	R2
γ_R	1,1

Tabella 5: Coefficienti parziali per le verifiche di sicurezza di opere di materiali sciolti e di fronti di scavo (Tabella 6.8.I – NTC 2018)

7. ANALISI DEI RISULTATI

7.1 Analisi delle sollecitazioni

Nei paragrafi seguenti si riportano i risultati delle analisi condotte per i diversi modelli implementati, con le indicazioni dei valori massimi delle sollecitazioni flettenti e taglianti e delle rispettive profondità. I valori riportati sono relativi all’analisi al metro lineare.

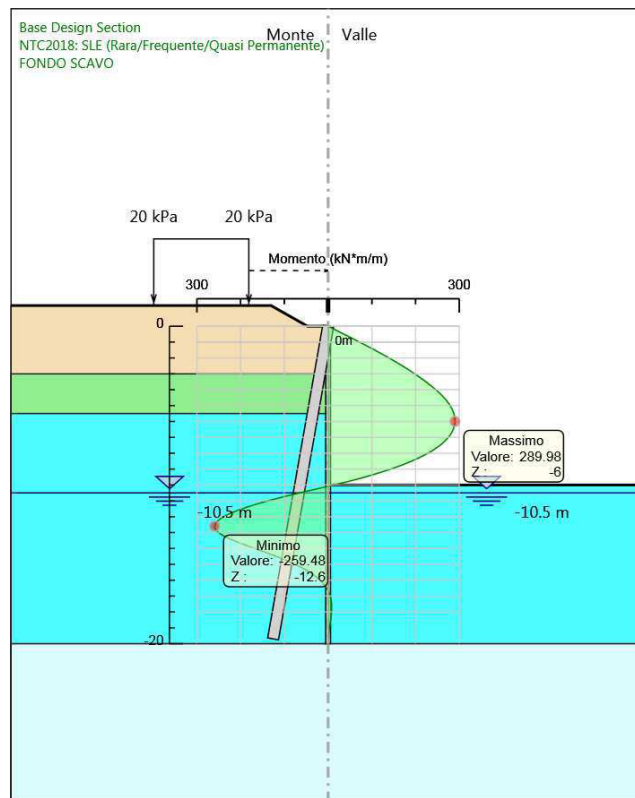


Figura 1: Modello SLE: Involuppo Diagramma del Momento

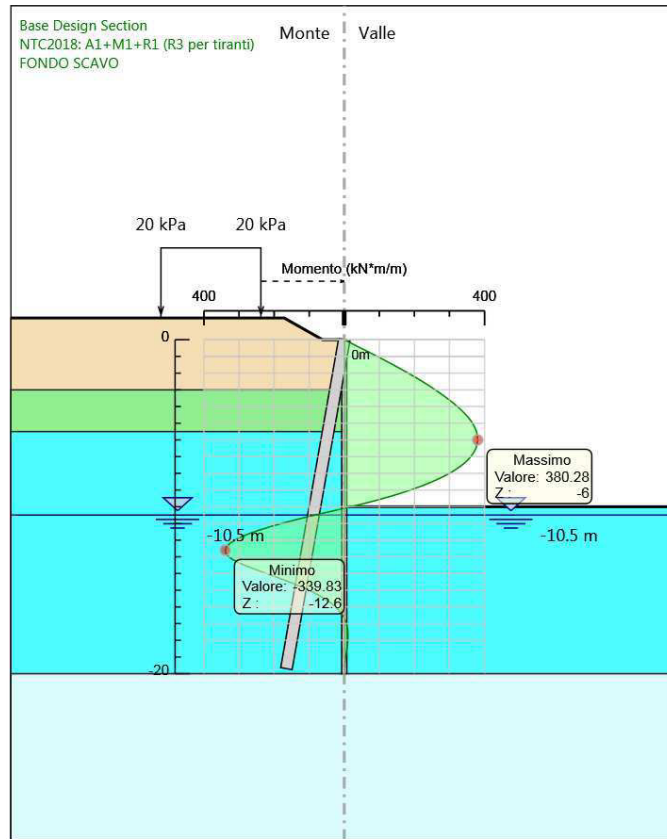


Figura 2: Modelli SLU: Involuppo Diagramma del Momento

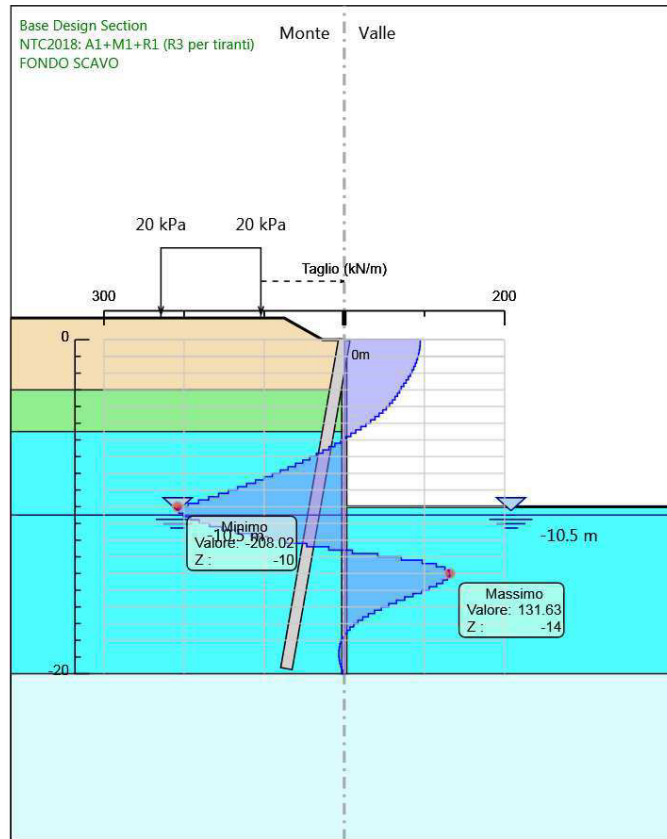


Figura 3: Modelli SLU: Inviluppo Diagramma del Taglio

7.2 Analisi degli spostamenti

Di seguito si forniscono le indicazioni dei valori massimi degli spostamenti.

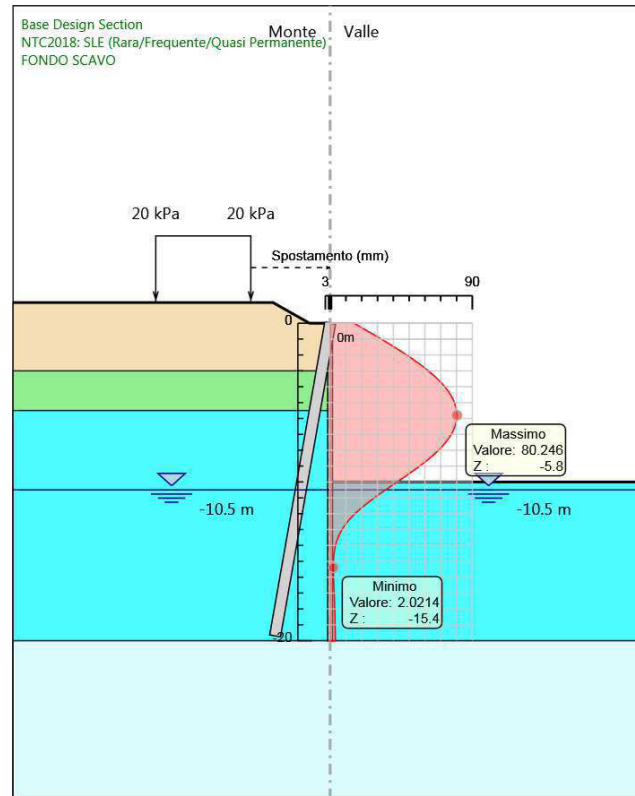


Figura 4: Modello SLE: Involuppo degli spostamenti

Lo spostamento massimo risulta pari a 80 mm.

8. VERIFICHE

8.1 Verifiche di stabilità globale

In accordo alle NTC 2018, le verifiche di stabilità globale dell’insieme terreno-opera in condizioni statiche sono state condotte secondo l’Approccio 1 – combinazione 2 (A2 + M2 + R2), tenendo conto dei coefficienti parziali riportati alle tabelle 6.2.I, 6.2.II e 6.8.1 delle suddette NTC. Le verifiche in presenza di azioni sismiche sono state eseguite ponendo pari a 1 i coefficienti parziali sulle azioni e sui parametri geotecnici (§ 7.11.1 NTC 2018).

Le analisi sono state condotte mediante il programma Paratie Plus, applicando il metodo di Bishop. I risultati ottenuti presentano, lungo tutte le superfici di scivolamento analizzate, dei coefficienti di sicurezza conformi a quanto richiesto dalle NTC, con valore minimo pari a 1.959, come illustrato nella figura seguente con riferimento alla configurazione più gravosa, che si manifesta in fase finale di scavo.

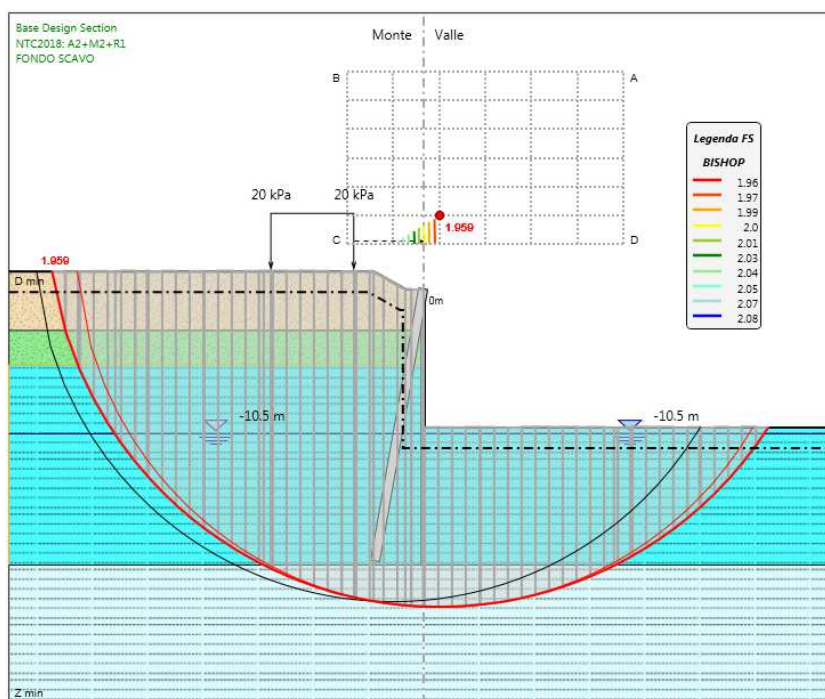


Figura 5: Risultati dell’analisi di stabilità globale

8.2 Verifiche geotecniche

Le verifiche geotecniche sono svolte valutando il coefficiente di sicurezza in termini di rapporto di mobilitazione della spinta passiva, cioè come rapporto tra spinta passiva mobilitata al piede della paratia e la spinta passiva mobilitabile. La verifica è soddisfatta se tale rapporto è inferiore all'unità.

Max. Rapporto Spinte (Efficace/Passiva): 0.45

Combinazione A2+M2+R1

8.3 Verifiche strutturali

Si riporta di seguito la verifica nella condizione più gravosa. Per maggiori dettagli si rimanda agli allegati di calcolo.

Max. momento (assoluto) [kNm/m] 380.28 Z = -6 m

Max. taglio [kN/m] 208.02 Z = -10 m

Massimo sfruttamento in flessione 0.86 Z = -6 m

Massimo sfruttamento a taglio 0.09 Z = -10 m

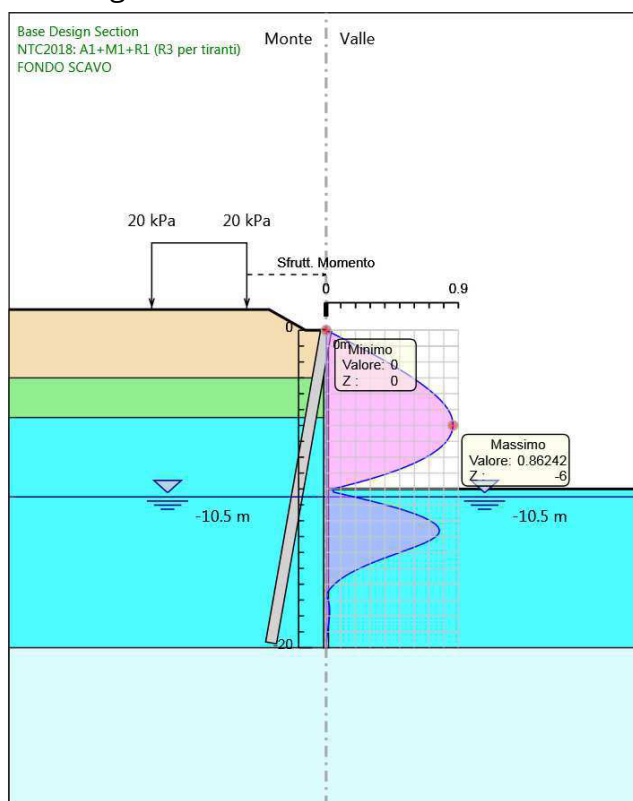


Figura 6: Modello SLU: Verifica flessionale

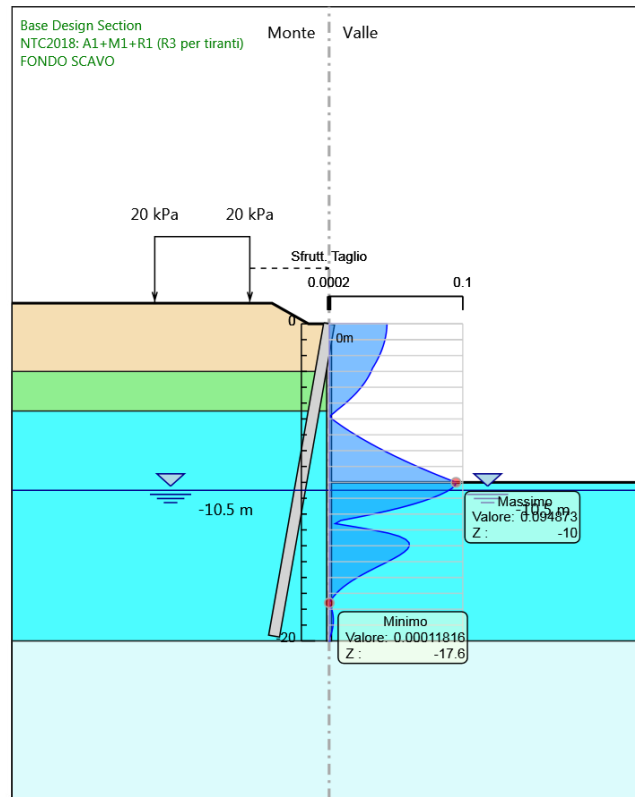


Figura 7: Modello SLU: Verifica a taglio

9.ALLEGATO

Descrizione della Stratigrafia e degli Strati di Terreno

Tipo : HORIZONTAL

Quota : 9 m

OCR : 1

Tipo : HORIZONTAL

Quota : -3 m

OCR : 1

Tipo : HORIZONTAL

Quota : -5.5 m

OCR : 3

Tipo : HORIZONTAL

Quota : -20 m

OCR : 1.5

Strato di Terreno	Terreno	γ dry	γ sat	ϕ'	ϕ	c	c'	Su	Modulo Elastico	Eu	Evc	Eur	Ah	Av	exp Pa	Rur/Rvc	Rvc	Ku	Kvc	Kur		
		kN/m ³	kN/m ³	°	°	kPa	kPa			kPa	kPa	kPa	kPa		kPa			kPa	kN/m ³	kN/m ³	kN/m ³	
1	RILEVATO STRADALE	19	19	35		0			Constant	30000	40000											
2	A2	19.5	19.5	25		10			Constant	25000	75000											
3	B1	20	20	28		10			Constant	50000	150000											
4	B2	20	20	28		10			Constant	100000	300000											

Descrizione Pareti

X : 0 m

Quota in alto : 0 m

Quota di fondo : -20 m

Muro di sinistra

Sezione : PALO Ø300

Area equivalente : 0.0458495132158937 m

Inerzia equivalente : 0.0003 m⁴/m

Materiale calcestruzzo : C25/30

Tipo sezione : Tangent

Spaziatura : 0.4 m

Diametro : 0.3 m

Efficacia : 1

Materiale acciaio : S275

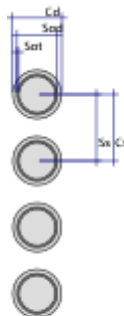
Sezione : CHS244.5*12.5

Tipo sezione : O

Spaziatura : 0.4 m

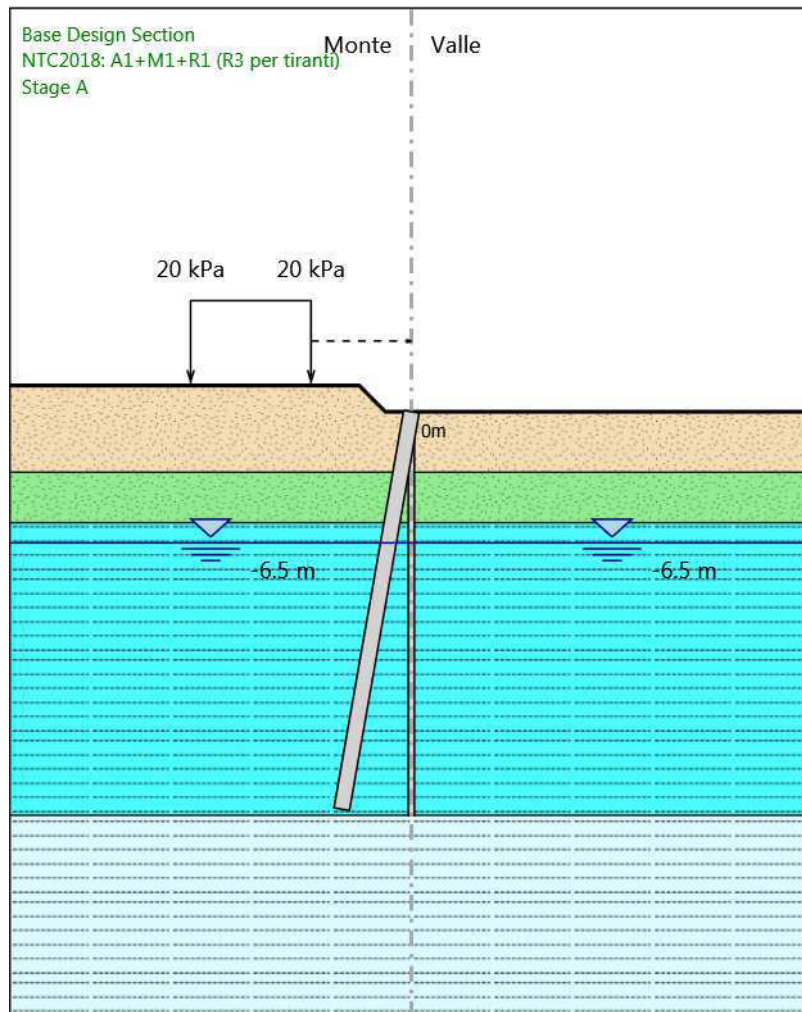
Spessore : 0.0125 m

Diametro : 0.2445 m



Fasi di Calcolo

Stage A



Stage A

Scavo

Muro di sinistra

Lato monte : 0 m

Lato valle : 0 m

Linea di scavo di sinistra (Irregolare)

(-20;1.3)

(-2.6;1.3)

(-1.3;0)

(0;0)

Linea di scavo di destra (Orizzontale)

0 m

Falda acquifera

Falda di sinistra : -6.5 m

Falda di destra : -6.5 m

Carichi

Carico lineare in superficie : SurfaceSurcharge

X iniziale : -11 m

X finale : -5 m

Pressione iniziale : 20 kPa

Pressione finale : 20 kPa

Elementi strutturali

Paratia : MICROPALO Ø300

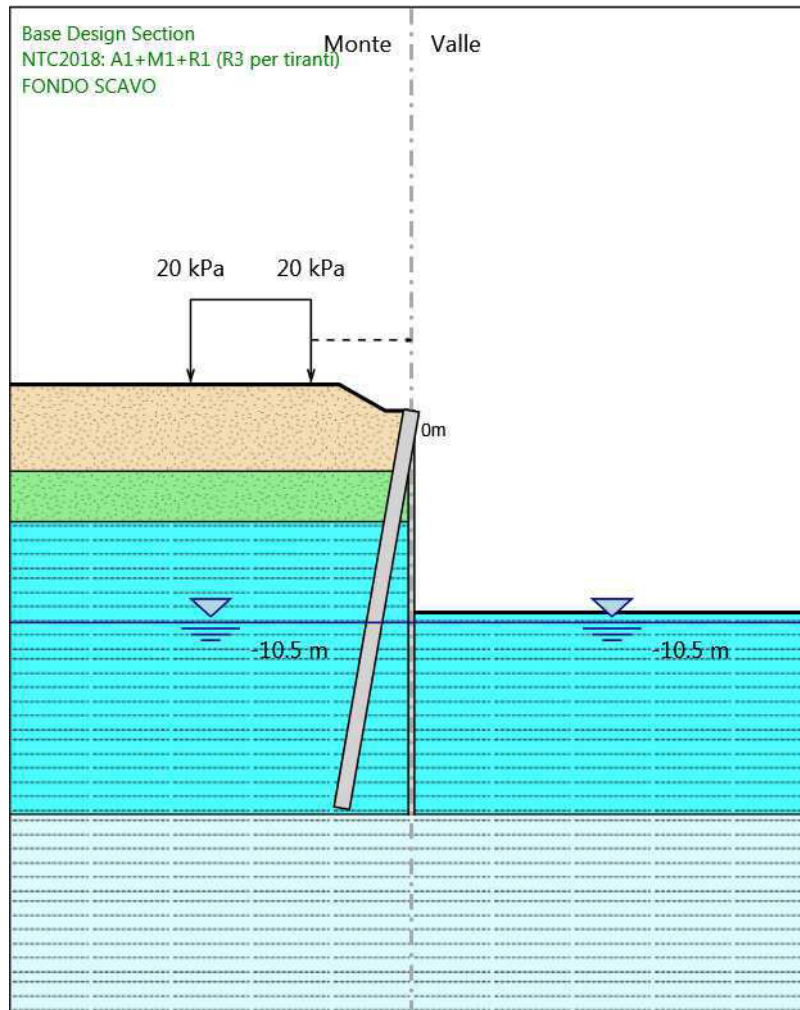
X : 0 m

Quota in alto : 0 m

Quota di fondo : -20 m

Sezione : PALO Ø300

FONDO SCAVO



FONDO SCAVO

Scavo

Muro di sinistra

Lato monte : 0 m

Lato valle : -10 m

Linea di scavo di sinistra (Irregolare)

(-20;1.3)

(-3.6;1.3)

(-1.3;0)

(0;0)

Linea di scavo di destra (Orizzontale)

-10 m

Falda acquifera

Falda di sinistra : -10.5 m

Falda di destra : -10.5 m

Carichi

Carico lineare in superficie : SurfaceSurcharge

X iniziale : -11 m

X finale : -5 m

Pressione iniziale : 20 kPa

Pressione finale : 20 kPa

Elementi strutturali

Paratia : MICROPALO Ø300

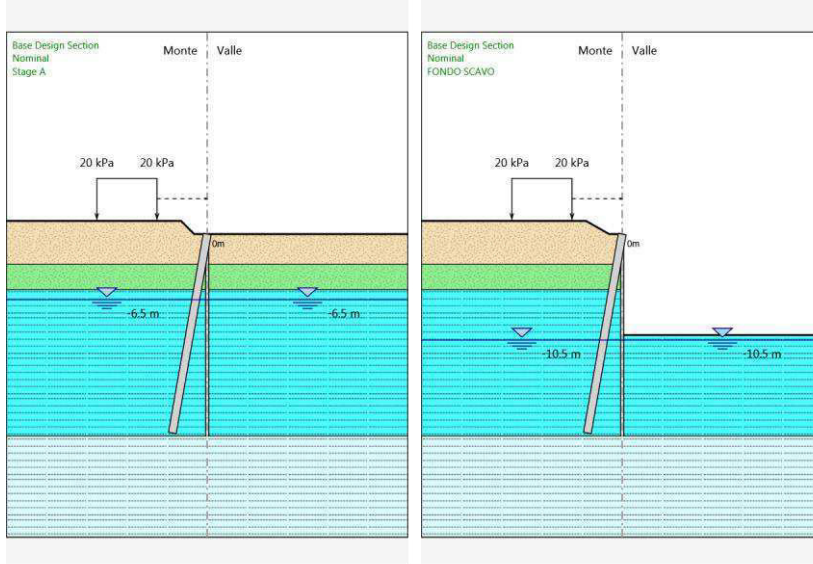
X : 0 m

Quota in alto : 0 m

Quota di fondo : -20 m

Sezione : PALO Ø300

Tabella Configurazione Stage (Nominal)



Descrizione Coefficienti Design Assumption

Coefficienti A

Nome	Carichi Sfavorevoli (F_dead_loa d_unfavour)	Carichi Favorevoli (F_dead_lo ad_favour)	Carichi Sfavorevoli (F_live_load _unfavour)	Carichi Favorevoli (F_live_loa d_favour)	Carico Sismico (F_seis m_load)	Pressi Monte (F_Wa terDR)	Pressio ni Acqua Valle (F_Wat erRes)	Carichi Destabili (F_UPL_ Gdstab)	Carichi Destabiliz zanti (F_UPL_ _GStab)	Carichi Destabili (F_UPL_ QDStab)	Carichi Destabiliz zanti (F_HYD_ _GStab)	Carichi Destabili (F_HYD_ _GStab)	Carichi Destabiliz zanti (F_HYD_ _GStab)
Simbolo	γ_G	γ_G	γ_Q	γ_Q	γ_{QE}	γ_G	γ_G	γ_{Gdst}	γ_{Gstb}	γ_{Qdst}	γ_{Gdst}	γ_{Gstb}	γ_{Qdst}
Nominal	1	1	1	1	1	1	1	1	1	1	1	1	1
NTC2018: SLE (Rara/Frequ ente/Quasi Permanente)	1	1	1	1	0	1	1	1	1	1	1	1	1
NTC2018: A1+M1+R1 (R3 per tiranti)	1.3	1	1.5	1	0	1.3	1	1	1	1	1.3	0.9	1
NTC2018: A2+M2+R1	1	1	1.3	1	0	1	1	1	1	1	1.3	0.9	1

Coefficienti M

Nome	Parziale su $\tan(\phi')$ (F_Fr)	Parziale su c' (F_eff_cohe)	Parziale su Su (F_Su)	Parziale su qu (F_qu)	Parziale su peso specifico (F_gamma)
Simbolo	γ_ϕ	γ_c	γ_{cu}	γ_{qu}	γ_γ
Nominal	1	1	1	1	1
NTC2018: SLE (Rara/Frequente/Quasi Permanente)	1	1	1	1	1
NTC2018: A1+M1+R1 (R3 per tiranti)	1	1	1	1	1
NTC2018: A2+M2+R1	1.25	1.25	1.4	1	1

Coefficienti R

Nome	Parziale resistenza terreno (es. Kp) (F_Soil_Res_walls)	Parziale resistenza Tiranti permanenti (F_Anch_P)	Parziale resistenza Tiranti temporanei (F_Anch_T)	Parziale elementi strutturali (F_wall)
Simbolo	γ_{Re}	γ_{ap}	γ_{at}	
Nominal	1	1	1	1
NTC2018: SLE (Rara/Frequente/Quasi Permanente)	1	1	1	1
NTC2018: A1+M1+R1 (R3 per tiranti)	1	1.2	1.1	1
NTC2018: A2+M2+R1	1	1.2	1.1	1

Risultati NTC2018: SLE (Rara/Frequente/Quasi Permanente)

Tabella Spostamento NTC2018: SLE (Rara/Frequente/Quasi Permanente) - LEFT Stage: Stage A

Design Assumption: NTC2018: SLE (Rara/Frequente/Quasi Permanente) Tipo Risultato: Spostamento Muro: LEFT			
Stage	Z (m)	Spostamento (mm)	
Stage A	0	0	
Stage A	-0.2	0	
Stage A	-0.4	0	
Stage A	-0.6	0	
Stage A	-0.8	0	
Stage A	-1	0	
Stage A	-1.2	0	
Stage A	-1.4	0	
Stage A	-1.6	0	
Stage A	-1.8	0	
Stage A	-2	0	
Stage A	-2.2	0	
Stage A	-2.4	0	
Stage A	-2.6	0	
Stage A	-2.8	0	
Stage A	-3	0	
Stage A	-3.2	0	
Stage A	-3.4	0	
Stage A	-3.6	0	
Stage A	-3.8	0	
Stage A	-4	0	
Stage A	-4.2	0	
Stage A	-4.4	0	
Stage A	-4.6	0	
Stage A	-4.8	0	
Stage A	-5	0	
Stage A	-5.2	0	
Stage A	-5.4	0	
Stage A	-5.6	0	
Stage A	-5.8	0	
Stage A	-6	0	
Stage A	-6.2	0	
Stage A	-6.4	0	
Stage A	-6.6	0	
Stage A	-6.8	0	
Stage A	-7	0	
Stage A	-7.2	0	
Stage A	-7.4	0	
Stage A	-7.6	0	
Stage A	-7.8	0	
Stage A	-8	0	
Stage A	-8.2	0	
Stage A	-8.4	0	
Stage A	-8.6	0	
Stage A	-8.8	0	
Stage A	-9	0	
Stage A	-9.2	0	
Stage A	-9.4	0	
Stage A	-9.6	0	
Stage A	-9.8	0	
Stage A	-10	0	
Stage A	-10.2	0	
Stage A	-10.4	0	

Design Assumption: NTC2018: SLE (Rara/Frequente/Quasi Permanente) Tipo Risultato: Spostamento			Muro: LEFT
Stage	Z (m)	Spostamento (mm)	
Stage A	-10.6	0	
Stage A	-10.8	0	
Stage A	-11	0	
Stage A	-11.2	0	
Stage A	-11.4	0	
Stage A	-11.6	0	
Stage A	-11.8	0	
Stage A	-12	0	
Stage A	-12.2	0	
Stage A	-12.4	0	
Stage A	-12.6	0	
Stage A	-12.8	0	
Stage A	-13	0	
Stage A	-13.2	0	
Stage A	-13.4	0	
Stage A	-13.6	0	
Stage A	-13.8	0	
Stage A	-14	0	
Stage A	-14.2	0	
Stage A	-14.4	0	
Stage A	-14.6	0	
Stage A	-14.8	0	
Stage A	-15	0	
Stage A	-15.2	0	
Stage A	-15.4	0	
Stage A	-15.6	0	
Stage A	-15.8	0	
Stage A	-16	0	
Stage A	-16.2	0	
Stage A	-16.4	0	
Stage A	-16.6	0	
Stage A	-16.8	0	
Stage A	-17	0	
Stage A	-17.2	0	
Stage A	-17.4	0	
Stage A	-17.6	0	
Stage A	-17.8	0	
Stage A	-18	0	
Stage A	-18.2	0	
Stage A	-18.4	0	
Stage A	-18.6	0	
Stage A	-18.8	0	
Stage A	-19	0	
Stage A	-19.2	0	
Stage A	-19.4	0	
Stage A	-19.6	0	
Stage A	-19.8	0	
Stage A	-20	0	

**Tabella Risultati Paratia NTC2018: SLE (Rara/Frequente/Quasi Permanente) - Left Wall -
Stage: Stage A**

Design Assumption: NTC2018: SLE (Rara/Frequente/Quasi Permanente) Risultati Paratia		Muro: LEFT	
Stage	Z (m)	Momento (kN*m/m)	Taglio (kN/m)
Stage A	0	0	0
Stage A	-0.2	0	0
Stage A	-0.4	0	0
Stage A	-0.6	0	0
Stage A	-0.8	0	0
Stage A	-1	0	0
Stage A	-1.2	0	0
Stage A	-1.4	0	0
Stage A	-1.6	0	0
Stage A	-1.8	0	0
Stage A	-2	0	0
Stage A	-2.2	0	0
Stage A	-2.4	0	0
Stage A	-2.6	0	0
Stage A	-2.8	0	0
Stage A	-3	0	0
Stage A	-3.2	0	0
Stage A	-3.4	0	0
Stage A	-3.6	0	0
Stage A	-3.8	0	0
Stage A	-4	0	0
Stage A	-4.2	0	0
Stage A	-4.4	0	0
Stage A	-4.6	0	0
Stage A	-4.8	0	0
Stage A	-5	0	0
Stage A	-5.2	0	0
Stage A	-5.4	0	0
Stage A	-5.6	0	0
Stage A	-5.8	0	0
Stage A	-6	0	0
Stage A	-6.2	0	0
Stage A	-6.4	0	0
Stage A	-6.6	0	0
Stage A	-6.8	0	0
Stage A	-7	0	0
Stage A	-7.2	0	0
Stage A	-7.4	0	0
Stage A	-7.6	0	0
Stage A	-7.8	0	0
Stage A	-8	0	0
Stage A	-8.2	0	0
Stage A	-8.4	0	0
Stage A	-8.6	0	0
Stage A	-8.8	0	0
Stage A	-9	0	0
Stage A	-9.2	0	0
Stage A	-9.4	0	0
Stage A	-9.6	0	0
Stage A	-9.8	0	0
Stage A	-10	0	0
Stage A	-10.2	0	0
Stage A	-10.4	0	0
Stage A	-10.6	0	0
Stage A	-10.8	0	0

Design Assumption: NTC2018: SLE (Rara/Frequente/Quasi Permanente) Risultati Paratia		Muro: LEFT	
Stage	Z (m)	Momento (kN*m/m)	Taglio (kN/m)
Stage A	-11	0	0
Stage A	-11.2	0	0
Stage A	-11.4	0	0
Stage A	-11.6	0	0
Stage A	-11.8	0	0
Stage A	-12	0	0
Stage A	-12.2	0	0
Stage A	-12.4	0	0
Stage A	-12.6	0	0
Stage A	-12.8	0	0
Stage A	-13	0	0
Stage A	-13.2	0	0
Stage A	-13.4	0	0
Stage A	-13.6	0	0
Stage A	-13.8	0	0
Stage A	-14	0	0
Stage A	-14.2	0	0
Stage A	-14.4	0	0
Stage A	-14.6	0	0
Stage A	-14.8	0	0
Stage A	-15	0	0
Stage A	-15.2	0	0
Stage A	-15.4	0	0
Stage A	-15.6	0	0
Stage A	-15.8	0	0
Stage A	-16	0	0
Stage A	-16.2	0	0
Stage A	-16.4	0	0
Stage A	-16.6	0	0
Stage A	-16.8	0	0
Stage A	-17	0	0
Stage A	-17.2	0	0
Stage A	-17.4	0	0
Stage A	-17.6	0	0
Stage A	-17.8	0	0
Stage A	-18	0	0
Stage A	-18.2	0	0
Stage A	-18.4	0	0
Stage A	-18.6	0	0
Stage A	-18.8	0	0
Stage A	-19	0	0
Stage A	-19.2	0	0
Stage A	-19.4	0	0
Stage A	-19.6	0	0
Stage A	-19.8	0	0
Stage A	-20	0	0

Tabella Spostamento NTC2018: SLE (Rara/Frequente/Quasi Permanente) - LEFT Stage: FONDO SCAVO

Design Assumption: NTC2018: SLE (Rara/Frequente/Quasi Permanente) Tipo Risultato: Spostamento Muro: LEFT			
Stage	Z (m)	Spostamento (mm)	
FONDO SCAVO	0	15.1	
FONDO SCAVO	-0.2	18.6	
FONDO SCAVO	-0.4	22.08	
FONDO SCAVO	-0.6	25.55	
FONDO SCAVO	-0.8	28.99	
FONDO SCAVO	-1	32.38	
FONDO SCAVO	-1.2	35.73	
FONDO SCAVO	-1.4	39.02	
FONDO SCAVO	-1.6	42.25	
FONDO SCAVO	-1.8	45.39	
FONDO SCAVO	-2	48.45	
FONDO SCAVO	-2.2	51.42	
FONDO SCAVO	-2.4	54.28	
FONDO SCAVO	-2.6	57.03	
FONDO SCAVO	-2.8	59.66	
FONDO SCAVO	-3	62.16	
FONDO SCAVO	-3.2	64.53	
FONDO SCAVO	-3.4	66.75	
FONDO SCAVO	-3.6	68.83	
FONDO SCAVO	-3.8	70.75	
FONDO SCAVO	-4	72.51	
FONDO SCAVO	-4.2	74.1	
FONDO SCAVO	-4.4	75.52	
FONDO SCAVO	-4.6	76.76	
FONDO SCAVO	-4.8	77.81	
FONDO SCAVO	-5	78.69	
FONDO SCAVO	-5.2	79.37	
FONDO SCAVO	-5.4	79.86	
FONDO SCAVO	-5.6	80.15	
FONDO SCAVO	-5.8	80.25	
FONDO SCAVO	-6	80.15	
FONDO SCAVO	-6.2	79.85	
FONDO SCAVO	-6.4	79.35	
FONDO SCAVO	-6.6	78.66	
FONDO SCAVO	-6.8	77.78	
FONDO SCAVO	-7	76.71	
FONDO SCAVO	-7.2	75.44	
FONDO SCAVO	-7.4	74	
FONDO SCAVO	-7.6	72.38	
FONDO SCAVO	-7.8	70.58	
FONDO SCAVO	-8	68.63	
FONDO SCAVO	-8.2	66.52	
FONDO SCAVO	-8.4	64.26	
FONDO SCAVO	-8.6	61.87	
FONDO SCAVO	-8.8	59.35	
FONDO SCAVO	-9	56.72	
FONDO SCAVO	-9.2	54	
FONDO SCAVO	-9.4	51.19	
FONDO SCAVO	-9.6	48.31	
FONDO SCAVO	-9.8	45.39	
FONDO SCAVO	-10	42.44	
FONDO SCAVO	-10.2	39.48	
FONDO SCAVO	-10.4	36.54	
FONDO SCAVO	-10.6	33.62	
FONDO SCAVO	-10.8	30.76	

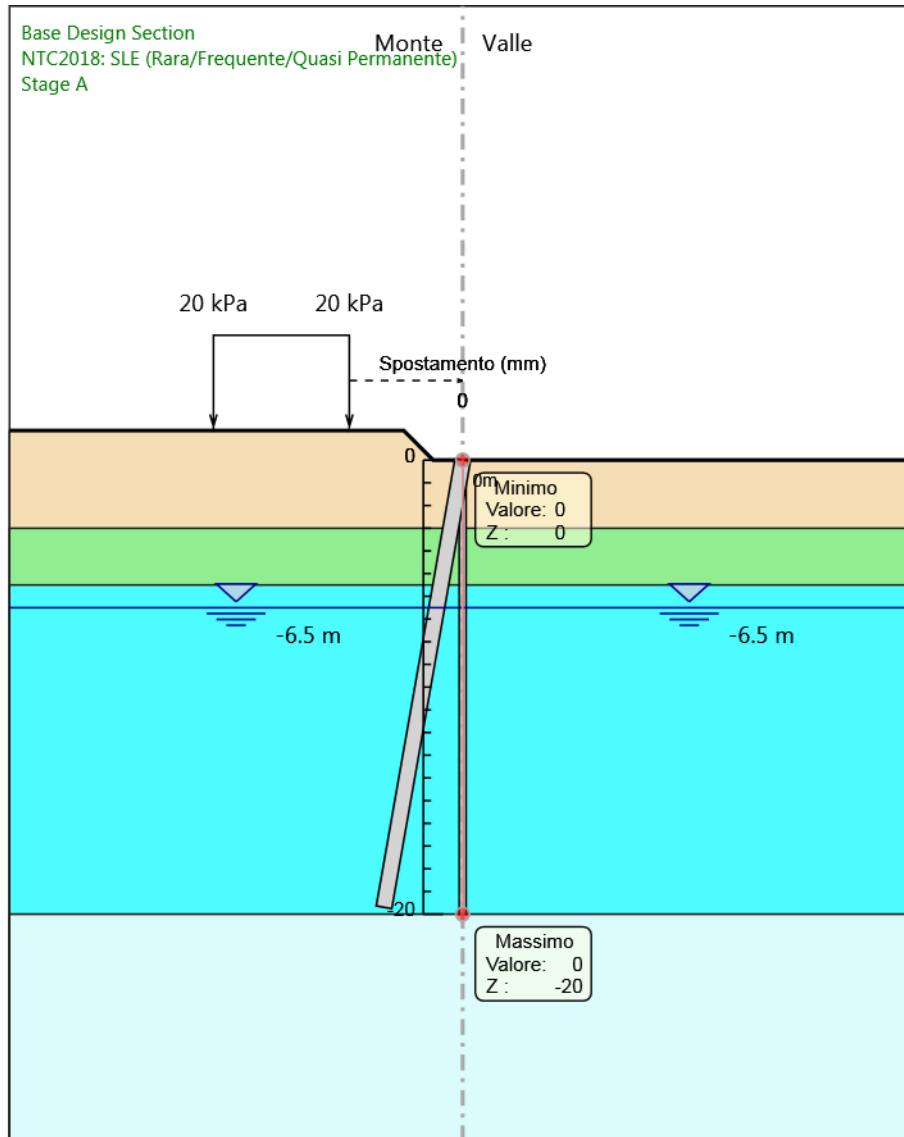
Design Assumption: NTC2018: SLE (Rara/Frequente/Quasi Permanente) Tipo Risultato: Spostamento		
Stage	Z (m)	Muro: LEFT Spostamento (mm)
FONDO SCAVO	-11	27.98
FONDO SCAVO	-11.2	25.29
FONDO SCAVO	-11.4	22.71
FONDO SCAVO	-11.6	20.26
FONDO SCAVO	-11.8	17.94
FONDO SCAVO	-12	15.78
FONDO SCAVO	-12.2	13.79
FONDO SCAVO	-12.4	11.96
FONDO SCAVO	-12.6	10.31
FONDO SCAVO	-12.8	8.83
FONDO SCAVO	-13	7.53
FONDO SCAVO	-13.2	6.4
FONDO SCAVO	-13.4	5.43
FONDO SCAVO	-13.6	4.61
FONDO SCAVO	-13.8	3.93
FONDO SCAVO	-14	3.39
FONDO SCAVO	-14.2	2.95
FONDO SCAVO	-14.4	2.62
FONDO SCAVO	-14.6	2.37
FONDO SCAVO	-14.8	2.2
FONDO SCAVO	-15	2.09
FONDO SCAVO	-15.2	2.04
FONDO SCAVO	-15.4	2.02
FONDO SCAVO	-15.6	2.04
FONDO SCAVO	-15.8	2.08
FONDO SCAVO	-16	2.14
FONDO SCAVO	-16.2	2.22
FONDO SCAVO	-16.4	2.3
FONDO SCAVO	-16.6	2.38
FONDO SCAVO	-16.8	2.47
FONDO SCAVO	-17	2.55
FONDO SCAVO	-17.2	2.64
FONDO SCAVO	-17.4	2.71
FONDO SCAVO	-17.6	2.79
FONDO SCAVO	-17.8	2.85
FONDO SCAVO	-18	2.91
FONDO SCAVO	-18.2	2.97
FONDO SCAVO	-18.4	3.02
FONDO SCAVO	-18.6	3.07
FONDO SCAVO	-18.8	3.11
FONDO SCAVO	-19	3.15
FONDO SCAVO	-19.2	3.19
FONDO SCAVO	-19.4	3.23
FONDO SCAVO	-19.6	3.26
FONDO SCAVO	-19.8	3.3
FONDO SCAVO	-20	3.34

**Tabella Risultati Paratia NTC2018: SLE (Rara/Frequente/Quasi Permanente) - Left Wall -
Stage: FONDO SCAVO**

Design Assumption: NTC2018: SLE (Rara/Frequente/Quasi Permanente) Risultati Paratia			
Stage	Z (m)	Muro: LEFT	
		Momento (kN*m/m)	Taglio (kN/m)
FONDO SCAVO	0	0	72.51
FONDO SCAVO	-0.2	14.5	72.51
FONDO SCAVO	-0.4	28.97	72.33
FONDO SCAVO	-0.6	43.37	71.99
FONDO SCAVO	-0.8	57.66	71.47
FONDO SCAVO	-1	71.81	70.77
FONDO SCAVO	-1.2	85.79	69.9
FONDO SCAVO	-1.4	99.57	68.86
FONDO SCAVO	-1.6	113.1	67.65
FONDO SCAVO	-1.8	126.35	66.26
FONDO SCAVO	-2	139.29	64.7
FONDO SCAVO	-2.2	151.88	62.96
FONDO SCAVO	-2.4	164.09	61.05
FONDO SCAVO	-2.6	175.88	58.96
FONDO SCAVO	-2.8	187.22	56.7
FONDO SCAVO	-3	198.08	54.27
FONDO SCAVO	-3.2	208.59	52.59
FONDO SCAVO	-3.4	218.72	50.63
FONDO SCAVO	-3.6	228.4	48.4
FONDO SCAVO	-3.8	237.58	45.89
FONDO SCAVO	-4	246.2	43.11
FONDO SCAVO	-4.2	254.21	40.05
FONDO SCAVO	-4.4	261.55	36.71
FONDO SCAVO	-4.6	268.17	33.1
FONDO SCAVO	-4.8	274.01	29.21
FONDO SCAVO	-5	279.02	25.04
FONDO SCAVO	-5.2	283.14	20.58
FONDO SCAVO	-5.4	286.3	15.83
FONDO SCAVO	-5.6	288.46	10.79
FONDO SCAVO	-5.8	289.7	6.21
FONDO SCAVO	-6	289.98	1.37
FONDO SCAVO	-6.2	289.23	-3.72
FONDO SCAVO	-6.4	287.42	-9.07
FONDO SCAVO	-6.6	284.48	-14.68
FONDO SCAVO	-6.8	280.37	-20.55
FONDO SCAVO	-7	275.04	-26.67
FONDO SCAVO	-7.2	268.43	-33.05
FONDO SCAVO	-7.4	260.49	-39.69
FONDO SCAVO	-7.6	251.17	-46.57
FONDO SCAVO	-7.8	240.43	-53.72
FONDO SCAVO	-8	228.21	-61.11
FONDO SCAVO	-8.2	214.46	-68.76
FONDO SCAVO	-8.4	199.12	-76.67
FONDO SCAVO	-8.6	182.16	-84.83
FONDO SCAVO	-8.8	163.51	-93.24
FONDO SCAVO	-9	143.13	-101.9
FONDO SCAVO	-9.2	120.97	-110.81
FONDO SCAVO	-9.4	96.97	-119.98
FONDO SCAVO	-9.6	71.09	-129.4
FONDO SCAVO	-9.8	43.28	-139.07
FONDO SCAVO	-10	13.48	-148.97
FONDO SCAVO	-10.2	-18.34	-159.12
FONDO SCAVO	-10.4	-49.91	-157.82
FONDO SCAVO	-10.6	-80.58	-153.35
FONDO SCAVO	-10.8	-109.88	-146.5

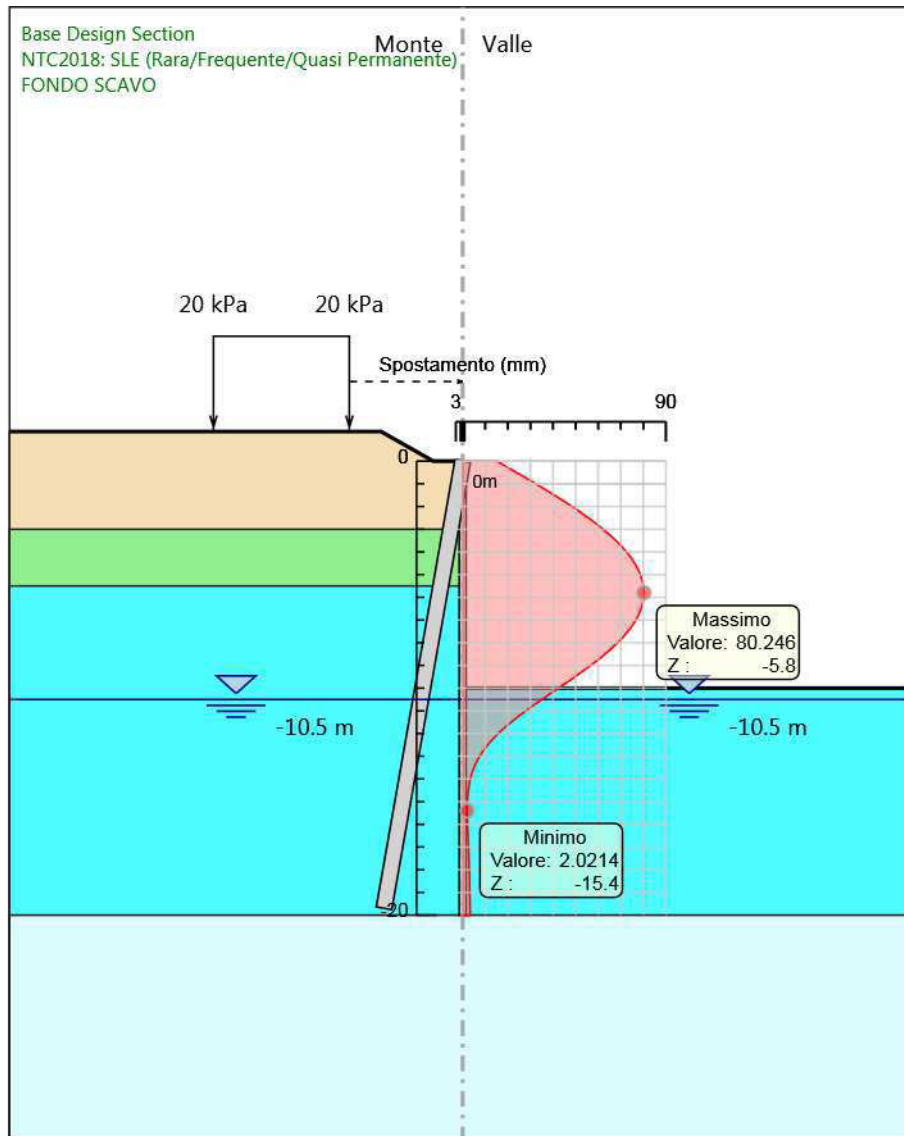
Design Assumption: NTC2018: SLE (Rara/Frequente/Quasi Permanente) Risultati Paratia		Muro: LEFT	
Stage	Z (m)	Momento (kN*m/m)	Taglio (kN/m)
FONDO SCAVO	-11	-137.49	-138.06
FONDO SCAVO	-11.2	-163.1	-128.03
FONDO SCAVO	-11.4	-186.38	-116.41
FONDO SCAVO	-11.6	-207.02	-103.21
FONDO SCAVO	-11.8	-224.7	-88.41
FONDO SCAVO	-12	-239.11	-72.02
FONDO SCAVO	-12.2	-249.92	-54.05
FONDO SCAVO	-12.4	-256.81	-34.48
FONDO SCAVO	-12.6	-259.48	-13.33
FONDO SCAVO	-12.8	-257.6	9.41
FONDO SCAVO	-13	-250.85	33.74
FONDO SCAVO	-13.2	-239.61	56.19
FONDO SCAVO	-13.4	-224.53	75.41
FONDO SCAVO	-13.6	-206.83	88.5
FONDO SCAVO	-13.8	-187.54	96.45
FONDO SCAVO	-14	-167.51	100.14
FONDO SCAVO	-14.2	-147.43	100.4
FONDO SCAVO	-14.4	-127.84	97.97
FONDO SCAVO	-14.6	-109.14	93.48
FONDO SCAVO	-14.8	-91.64	87.49
FONDO SCAVO	-15	-75.54	80.48
FONDO SCAVO	-15.2	-60.97	72.86
FONDO SCAVO	-15.4	-47.99	64.93
FONDO SCAVO	-15.6	-36.59	56.99
FONDO SCAVO	-15.8	-26.74	49.22
FONDO SCAVO	-16	-18.38	41.8
FONDO SCAVO	-16.2	-11.42	34.84
FONDO SCAVO	-16.4	-5.73	28.42
FONDO SCAVO	-16.6	-1.22	22.58
FONDO SCAVO	-16.8	2.25	17.35
FONDO SCAVO	-17	4.8	12.74
FONDO SCAVO	-17.2	6.55	8.73
FONDO SCAVO	-17.4	7.61	5.3
FONDO SCAVO	-17.6	8.09	2.42
FONDO SCAVO	-17.8	8.1	0.06
FONDO SCAVO	-18	7.74	-1.82
FONDO SCAVO	-18.2	7.09	-3.26
FONDO SCAVO	-18.4	6.23	-4.28
FONDO SCAVO	-18.6	5.24	-4.94
FONDO SCAVO	-18.8	4.19	-5.25
FONDO SCAVO	-19	3.15	-5.23
FONDO SCAVO	-19.2	2.17	-4.91
FONDO SCAVO	-19.4	1.31	-4.3
FONDO SCAVO	-19.6	0.62	-3.42
FONDO SCAVO	-19.8	0.17	-2.26
FONDO SCAVO	-20	0	-0.84

Grafico Spostamento NTC2018: SLE (Rara/Frequente/Quasi Permanente) - Stage: Stage A



Design Assumption: NTC2018: SLE (Rara/Frequente/Quasi Permanente)
Stage: Stage A
Spostamento

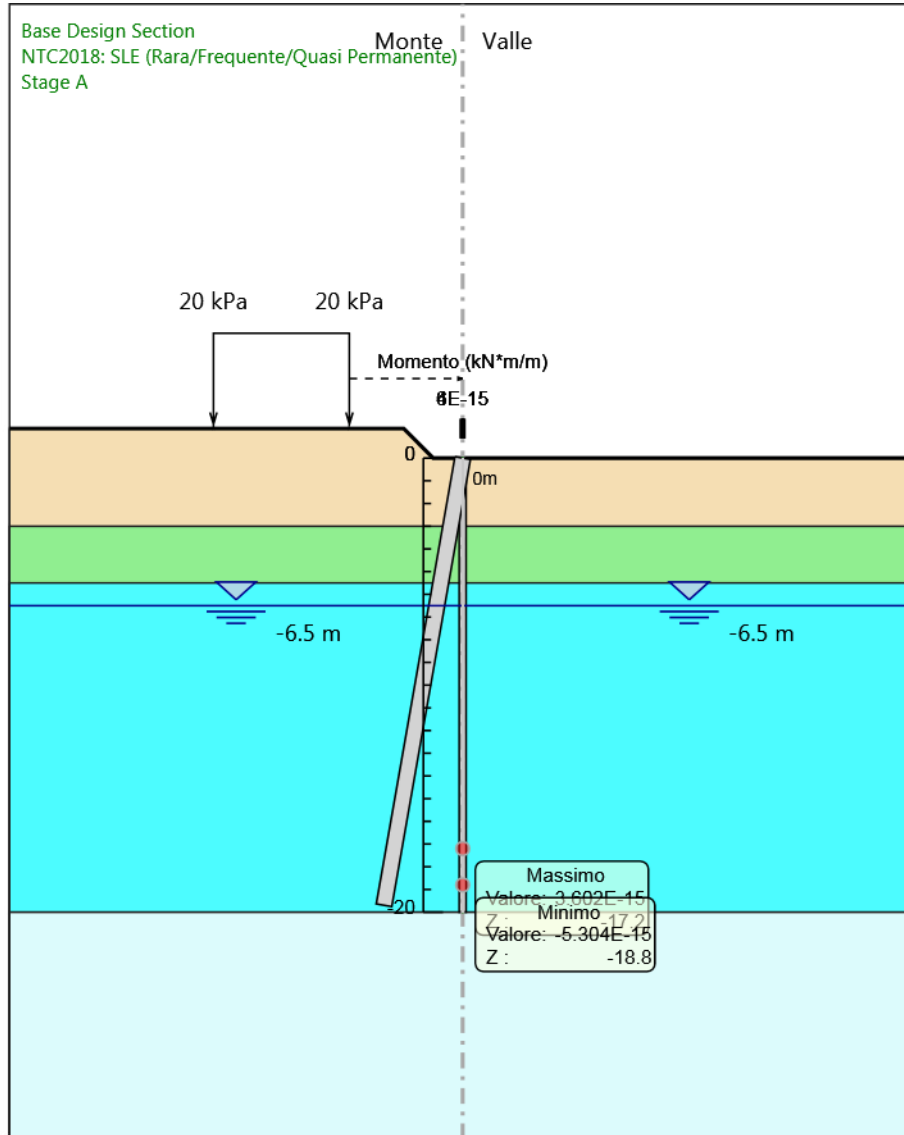
Grafico Spostamento NTC2018: SLE (Rara/Frequente/Quasi Permanente) - Stage: FONDO SCAVO



Design Assumption: NTC2018: SLE (Rara/Frequente/Quasi Permanente)
Stage: FONDO SCAVO
Spostamento

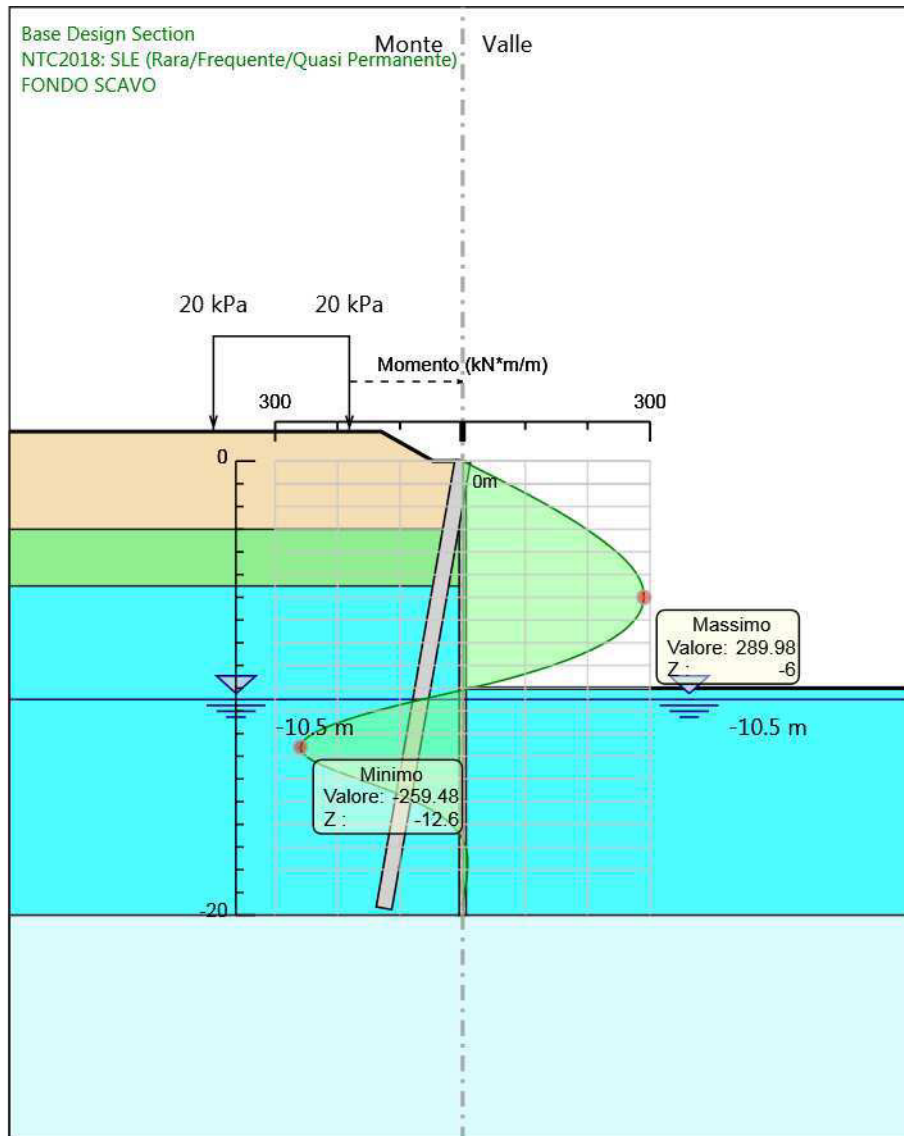
Grafico Risultati Momento NTC2018: SLE (Rara/Frequente/Quasi Permanente) - Stage: Stage

A



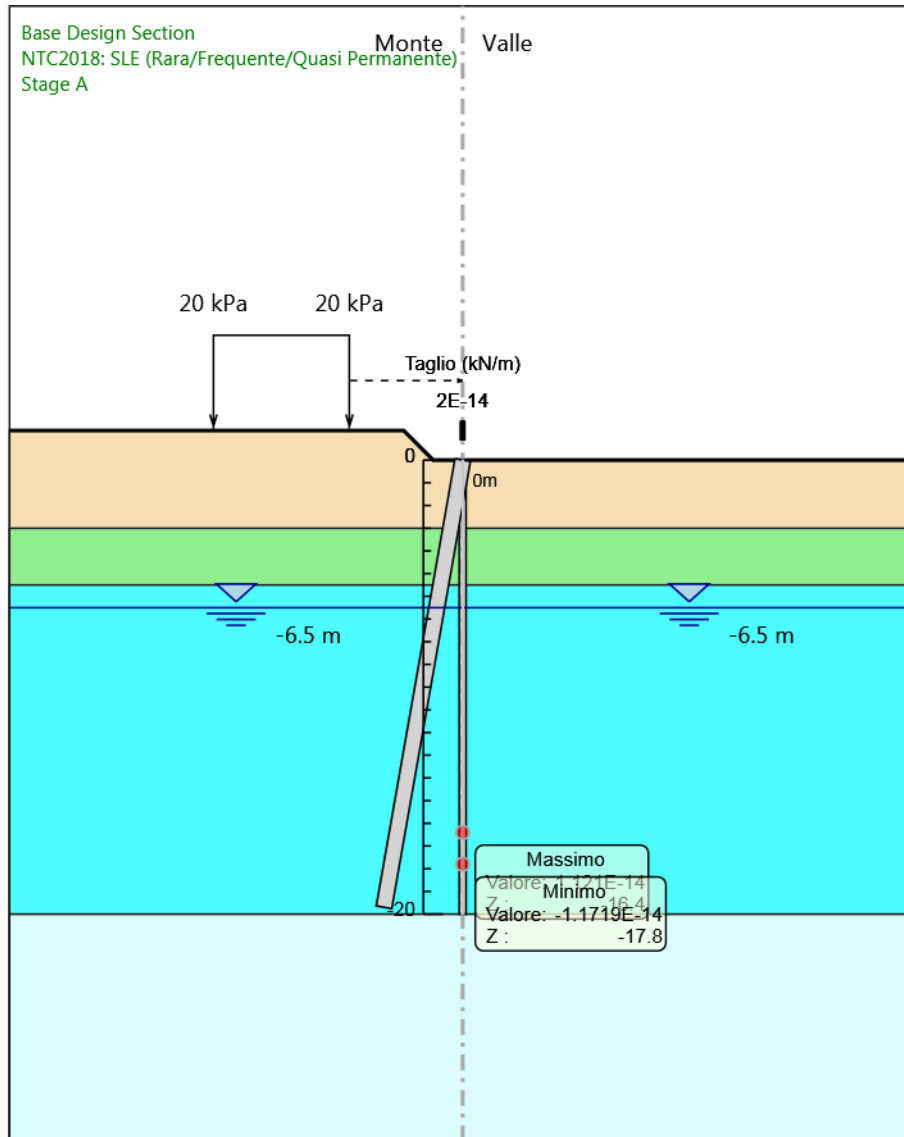
Design Assumption: NTC2018: SLE (Rara/Frequente/Quasi Permanente)
Stage: Stage A
Momento

Grafico Risultati Momento NTC2018: SLE (Rara/Frequente/Quasi Permanente) - Stage: FONDO SCAVO



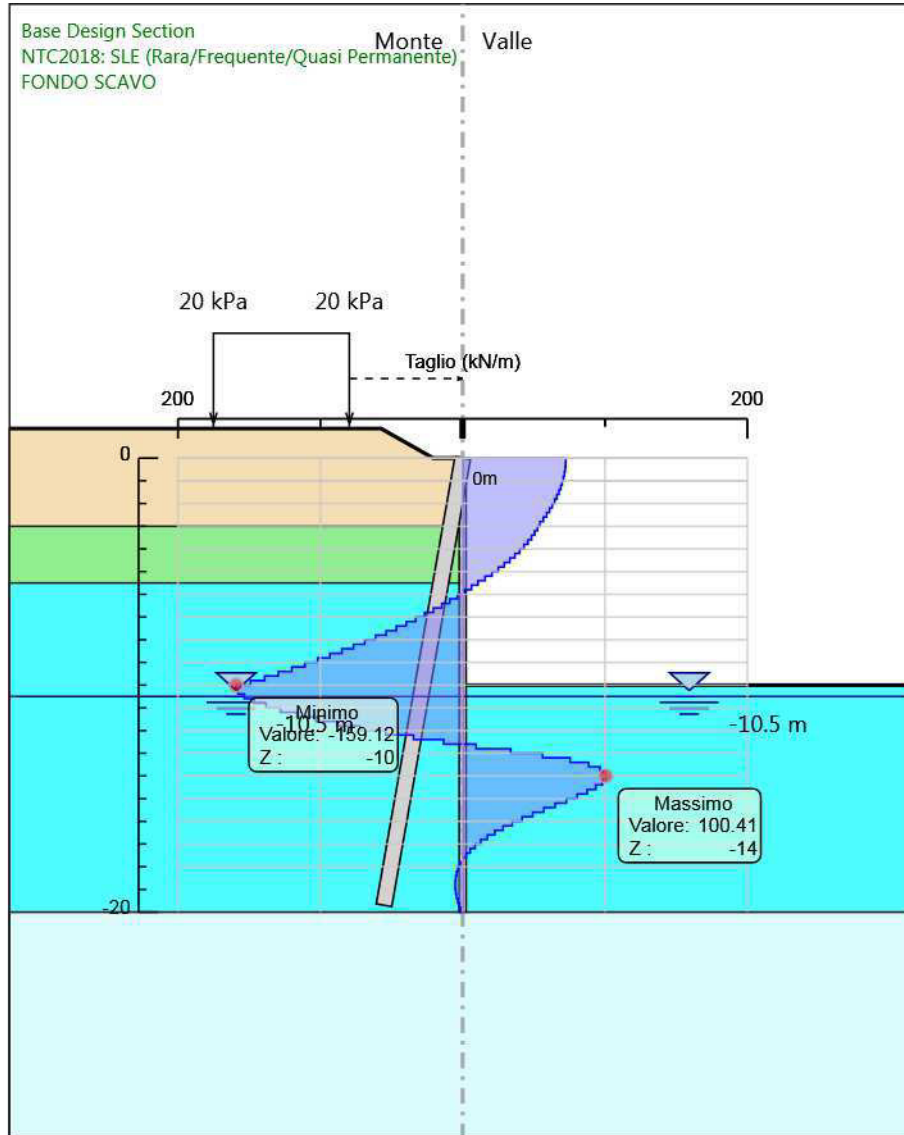
Design Assumption: NTC2018: SLE (Rara/Frequente/Quasi Permanente)
Stage: FONDO SCAVO
Momento

Grafico Risultati Taglio NTC2018: SLE (Rara/Frequente/Quasi Permanente) - Stage: Stage A



Design Assumption: NTC2018: SLE (Rara/Frequente/Quasi Permanente)
Stage: Stage A
Taglio

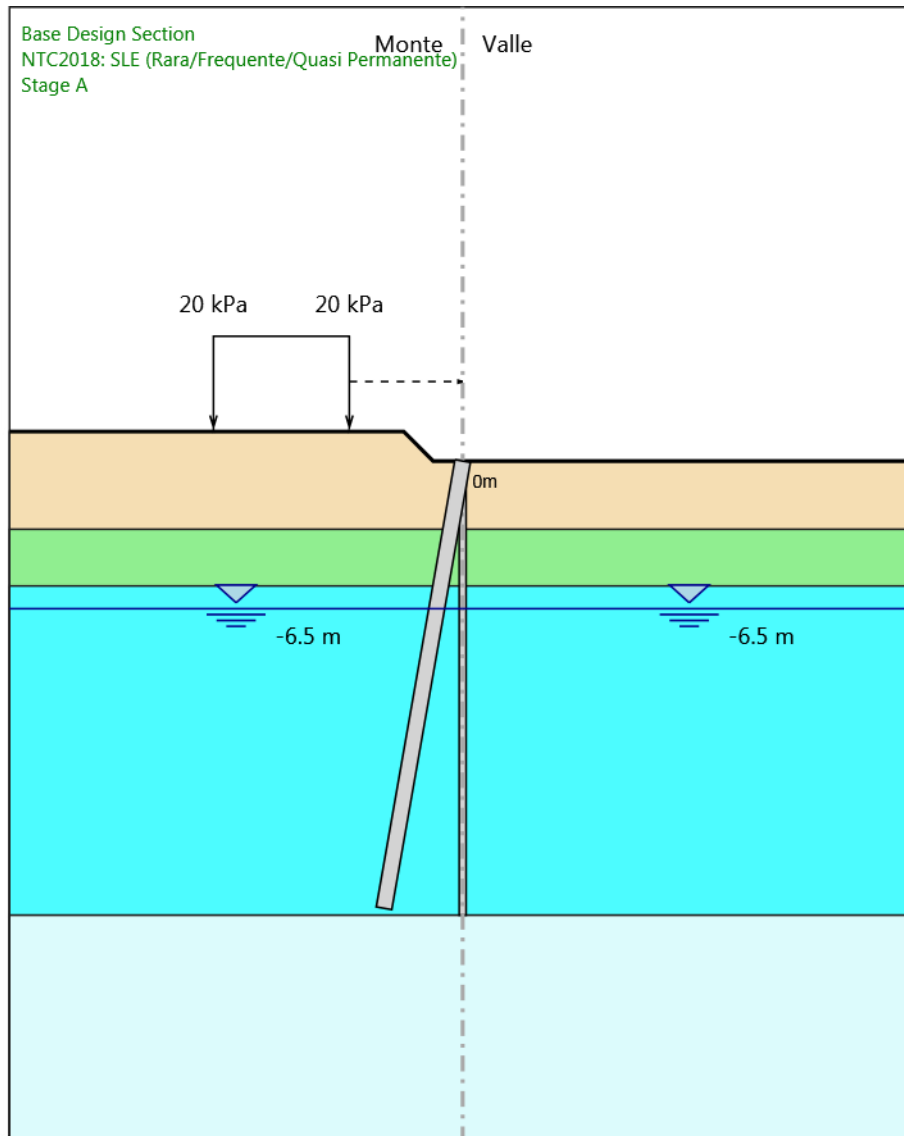
Grafico Risultati Taglio NTC2018: SLE (Rara/Frequente/Quasi Permanente) - Stage: FONDO SCAVO



Design Assumption: NTC2018: SLE (Rara/Frequente/Quasi Permanente)
Stage: FONDO SCAVO
Taglio

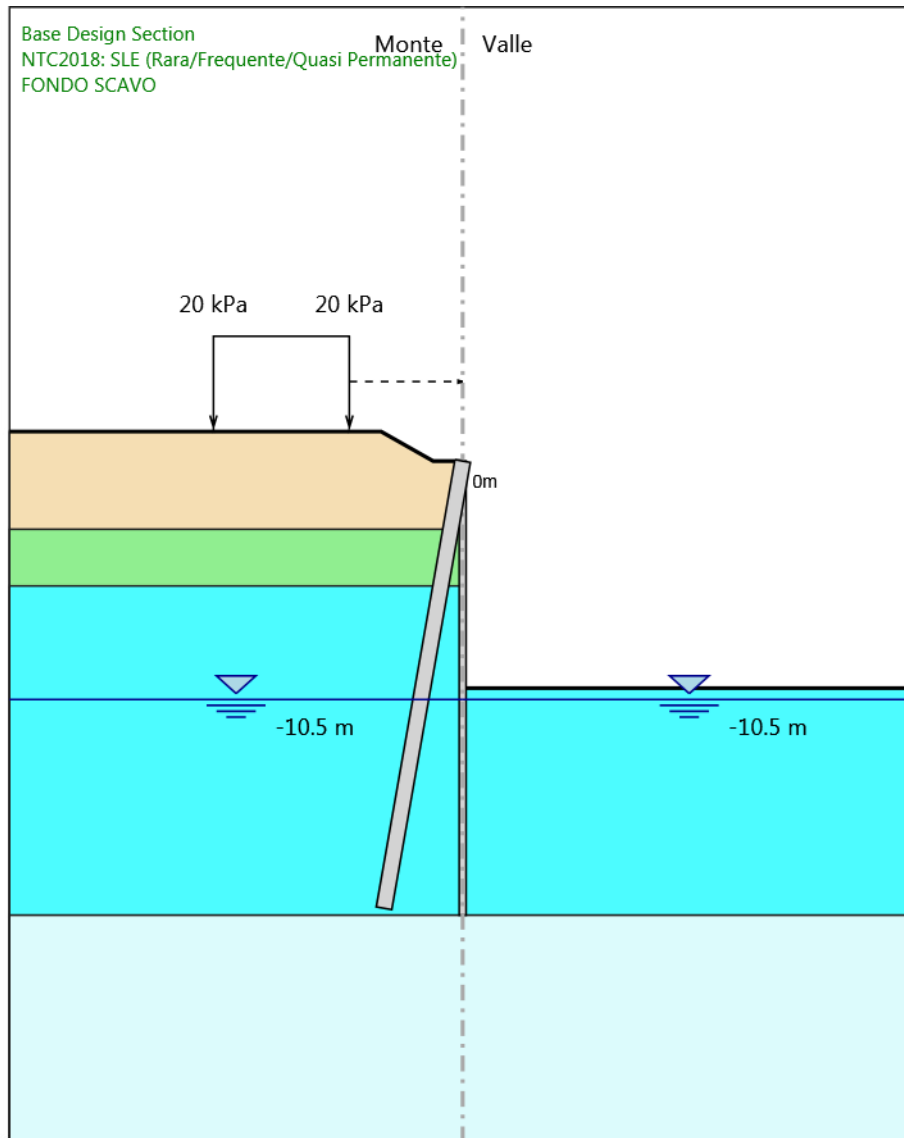
Grafico Risultati Momento NTC2018: SLE (Rara/Frequente/Quasi Permanente) - Stage: Stage

A



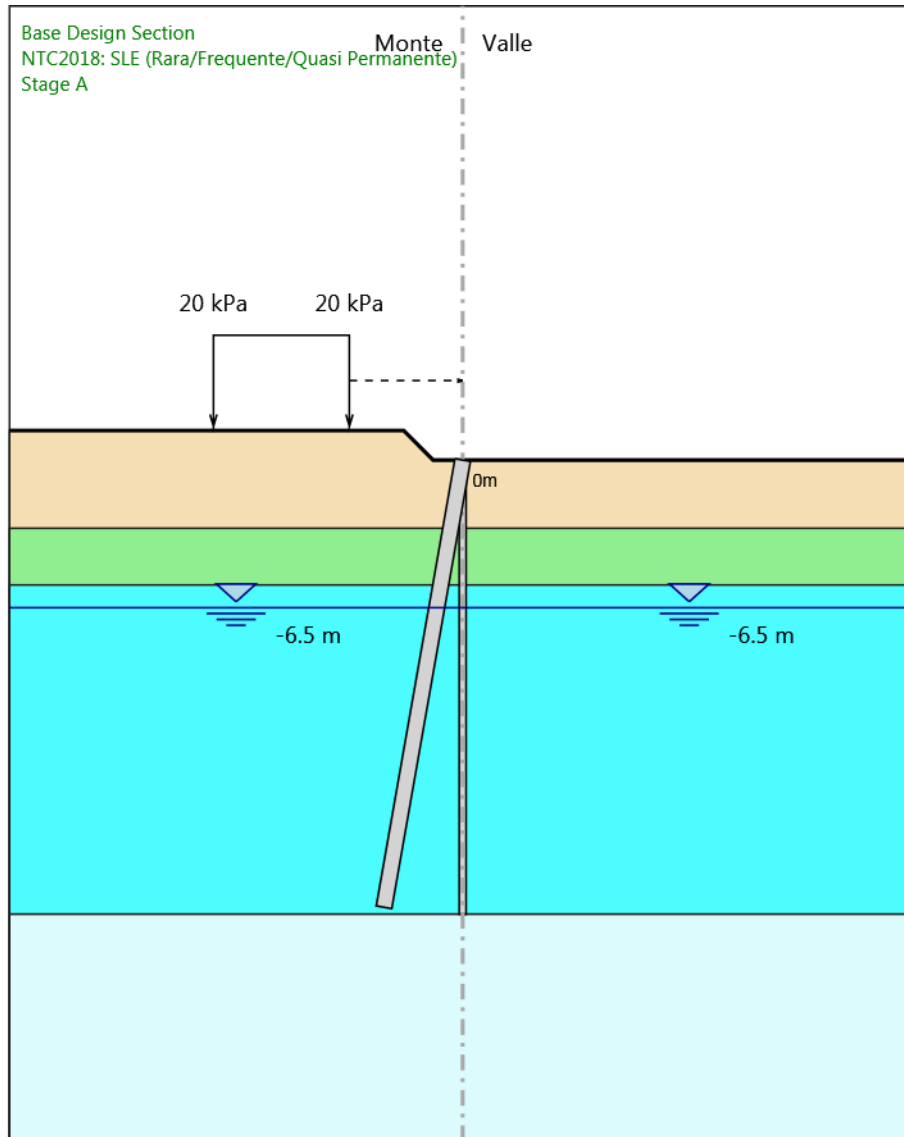
Design Assumption: NTC2018: SLE (Rara/Frequente/Quasi Permanente)
Stage: Stage A
Momento

**Grafico Risultati Momento NTC2018: SLE (Rara/Frequente/Quasi Permanente) - Stage:
FONDO SCAVO**



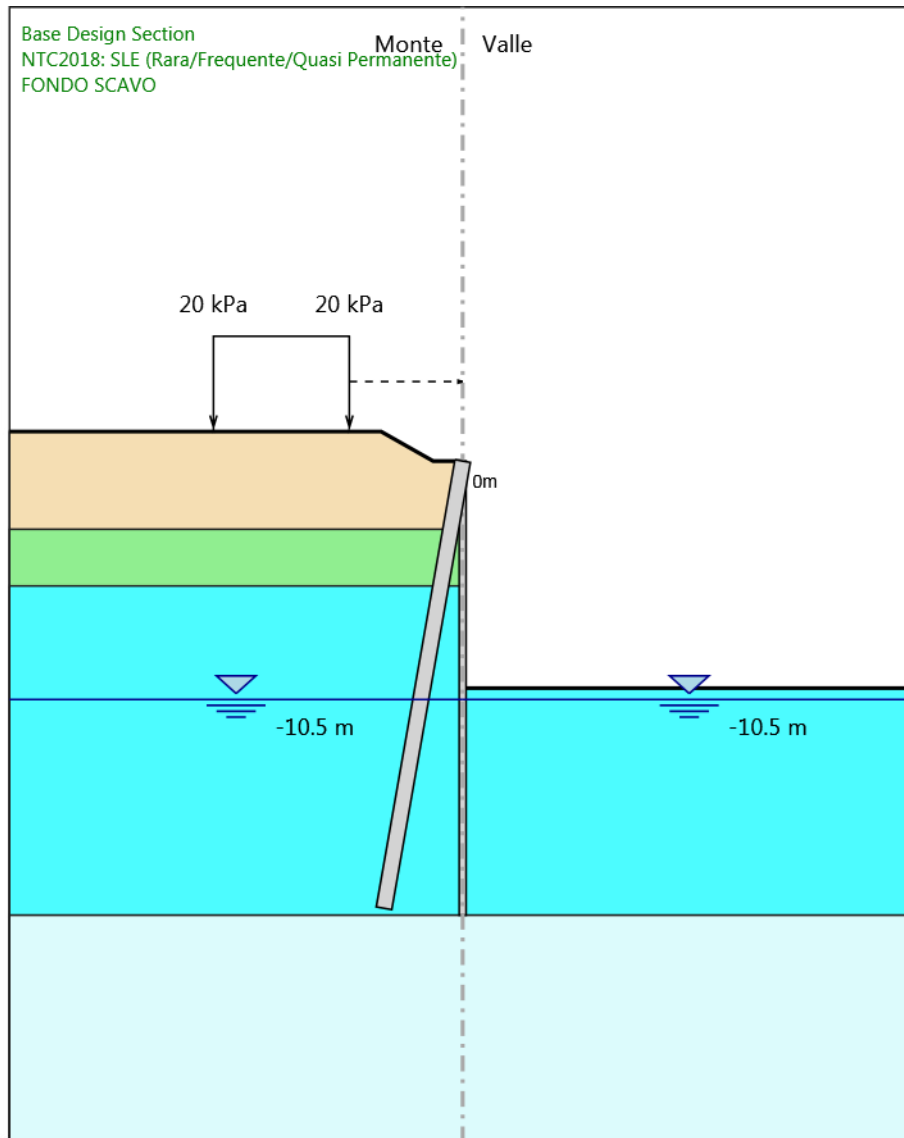
Design Assumption: NTC2018: SLE (Rara/Frequente/Quasi Permanente)
Stage: FONDO SCAVO
Momento

Grafico Risultati Taglio NTC2018: SLE (Rara/Frequente/Quasi Permanente) - Stage: Stage A



Design Assumption: NTC2018: SLE (Rara/Frequente/Quasi Permanente)
Stage: Stage A
Taglio

Grafico Risultati Taglio NTC2018: SLE (Rara/Frequente/Quasi Permanente) - Stage: FONDO SCAVO



Design Assumption: NTC2018: SLE (Rara/Frequente/Quasi Permanente)
Stage: FONDO SCAVO
Taglio

Risultati Elementi strutturali - NTC2018: SLE (Rara/Frequente/Quasi Permanente)

Design Assumption: NTC2018: SLE (Rara/Frequente/Quasi Permanente) Sollecitazione CAVALLETTO

Stage	Forza (kN/m)
Stage A	-6.158449E-17
FONDO SCAVO	417.5843

Risultati NTC2018: A1+M1+R1 (R3 per tiranti)

Tabella Risultati Paratia NTC2018: A1+M1+R1 (R3 per tiranti) - Left Wall - Stage: Stage A

Design Assumption: NTC2018: A1+M1+R1 (R3 per tiranti) Risultati Paratia		Muro: LEFT	
Stage	Z (m)	Momento (kN*m/m)	Taglio (kN/m)
Stage A	0	0	0
Stage A	-0.2	0	0
Stage A	-0.4	0	0
Stage A	-0.6	0	0
Stage A	-0.8	0	0
Stage A	-1	0	0
Stage A	-1.2	0	0
Stage A	-1.4	0	0
Stage A	-1.6	0	0
Stage A	-1.8	0	0
Stage A	-2	0	0
Stage A	-2.2	0	0
Stage A	-2.4	0	0
Stage A	-2.6	0	0
Stage A	-2.8	0	0
Stage A	-3	0	0
Stage A	-3.2	0	0
Stage A	-3.4	0	0
Stage A	-3.6	0	0
Stage A	-3.8	0	0
Stage A	-4	0	0
Stage A	-4.2	0	0
Stage A	-4.4	0	0
Stage A	-4.6	0	0
Stage A	-4.8	0	0
Stage A	-5	0	0
Stage A	-5.2	0	0
Stage A	-5.4	0	0
Stage A	-5.6	0	0
Stage A	-5.8	0	0
Stage A	-6	0	0
Stage A	-6.2	0	0
Stage A	-6.4	0	0
Stage A	-6.6	0	0
Stage A	-6.8	0	0
Stage A	-7	0	0
Stage A	-7.2	0	0
Stage A	-7.4	0	0
Stage A	-7.6	0	0
Stage A	-7.8	0	0
Stage A	-8	0	0
Stage A	-8.2	0	0
Stage A	-8.4	0	0
Stage A	-8.6	0	0
Stage A	-8.8	0	0
Stage A	-9	0	0
Stage A	-9.2	0	0
Stage A	-9.4	0	0
Stage A	-9.6	0	0
Stage A	-9.8	0	0
Stage A	-10	0	0
Stage A	-10.2	0	0
Stage A	-10.4	0	0

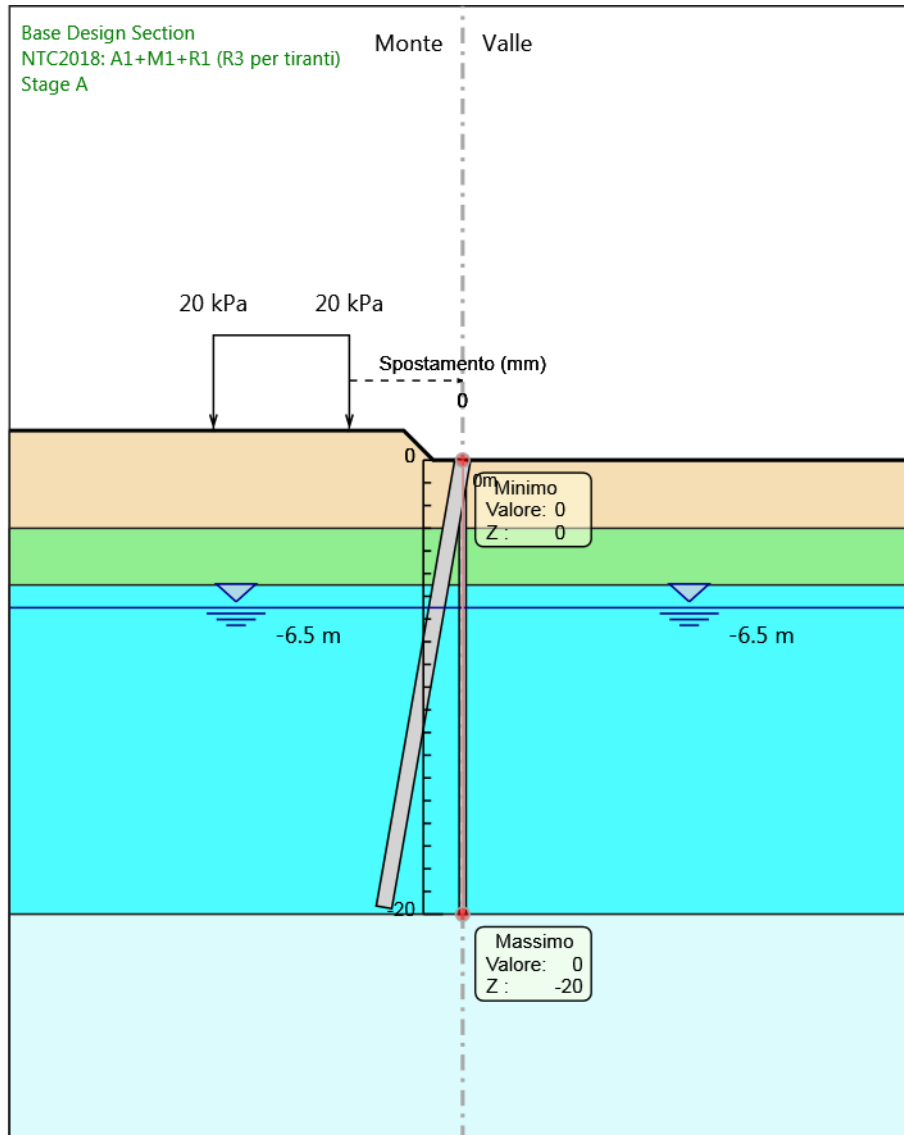
Design Assumption: NTC2018: A1+M1+R1 (R3 per tiranti) Risultati Paratia		Muro: LEFT	
Stage	Z (m)	Momento (kN*m/m)	Taglio (kN/m)
Stage A	-10.6	0	0
Stage A	-10.8	0	0
Stage A	-11	0	0
Stage A	-11.2	0	0
Stage A	-11.4	0	0
Stage A	-11.6	0	0
Stage A	-11.8	0	0
Stage A	-12	0	0
Stage A	-12.2	0	0
Stage A	-12.4	0	0
Stage A	-12.6	0	0
Stage A	-12.8	0	0
Stage A	-13	0	0
Stage A	-13.2	0	0
Stage A	-13.4	0	0
Stage A	-13.6	0	0
Stage A	-13.8	0	0
Stage A	-14	0	0
Stage A	-14.2	0	0
Stage A	-14.4	0	0
Stage A	-14.6	0	0
Stage A	-14.8	0	0
Stage A	-15	0	0
Stage A	-15.2	0	0
Stage A	-15.4	0	0
Stage A	-15.6	0	0
Stage A	-15.8	0	0
Stage A	-16	0	0
Stage A	-16.2	0	0
Stage A	-16.4	0	0
Stage A	-16.6	0	0
Stage A	-16.8	0	0
Stage A	-17	0	0
Stage A	-17.2	0	0
Stage A	-17.4	0	0
Stage A	-17.6	0	0
Stage A	-17.8	0	0
Stage A	-18	0	0
Stage A	-18.2	0	0
Stage A	-18.4	0	0
Stage A	-18.6	0	0
Stage A	-18.8	0	0
Stage A	-19	0	0
Stage A	-19.2	0	0
Stage A	-19.4	0	0
Stage A	-19.6	0	0
Stage A	-19.8	0	0
Stage A	-20	0	0

Tabella Risultati Paratia NTC2018: A1+M1+R1 (R3 per tiranti) - Left Wall - Stage: FONDO SCAVO

Design Assumption: NTC2018: A1+M1+R1 (R3 per tiranti) Risultati Paratia		Muro: LEFT	
Stage	Z (m)	Momento (kN*m/m)	Taglio (kN/m)
FONDO SCAVO	0	0	94.96
FONDO SCAVO	-0.2	18.99	94.96
FONDO SCAVO	-0.4	37.94	94.73
FONDO SCAVO	-0.6	56.79	94.28
FONDO SCAVO	-0.8	75.51	93.6
FONDO SCAVO	-1	94.05	92.69
FONDO SCAVO	-1.2	112.37	91.56
FONDO SCAVO	-1.4	130.41	90.21
FONDO SCAVO	-1.6	148.13	88.62
FONDO SCAVO	-1.8	165.49	86.81
FONDO SCAVO	-2	182.45	84.77
FONDO SCAVO	-2.2	198.95	82.51
FONDO SCAVO	-2.4	214.96	80.02
FONDO SCAVO	-2.6	230.41	77.3
FONDO SCAVO	-2.8	245.28	74.35
FONDO SCAVO	-3	259.52	71.17
FONDO SCAVO	-3.2	273.31	68.97
FONDO SCAVO	-3.4	286.59	66.41
FONDO SCAVO	-3.6	299.29	63.49
FONDO SCAVO	-3.8	311.33	60.21
FONDO SCAVO	-4	322.65	56.57
FONDO SCAVO	-4.2	333.16	52.56
FONDO SCAVO	-4.4	342.8	48.2
FONDO SCAVO	-4.6	351.5	43.48
FONDO SCAVO	-4.8	359.17	38.4
FONDO SCAVO	-5	365.76	32.94
FONDO SCAVO	-5.2	371.18	27.11
FONDO SCAVO	-5.4	375.36	20.89
FONDO SCAVO	-5.6	378.22	14.3
FONDO SCAVO	-5.8	379.89	8.32
FONDO SCAVO	-6	380.28	1.98
FONDO SCAVO	-6.2	379.35	-4.69
FONDO SCAVO	-6.4	377.01	-11.69
FONDO SCAVO	-6.6	373.2	-19.04
FONDO SCAVO	-6.8	367.86	-26.71
FONDO SCAVO	-7	360.91	-34.73
FONDO SCAVO	-7.2	352.3	-43.08
FONDO SCAVO	-7.4	341.95	-51.76
FONDO SCAVO	-7.6	329.79	-60.77
FONDO SCAVO	-7.8	315.77	-70.12
FONDO SCAVO	-8	299.81	-79.8
FONDO SCAVO	-8.2	281.84	-89.81
FONDO SCAVO	-8.4	261.81	-100.16
FONDO SCAVO	-8.6	239.64	-110.83
FONDO SCAVO	-8.8	215.28	-121.84
FONDO SCAVO	-9	188.64	-133.17
FONDO SCAVO	-9.2	159.68	-144.84
FONDO SCAVO	-9.4	128.31	-156.83
FONDO SCAVO	-9.6	94.48	-169.15
FONDO SCAVO	-9.8	58.12	-181.8
FONDO SCAVO	-10	19.17	-194.75
FONDO SCAVO	-10.2	-22.43	-208.02
FONDO SCAVO	-10.4	-63.71	-206.41
FONDO SCAVO	-10.6	-103.85	-200.67
FONDO SCAVO	-10.8	-142.22	-191.84

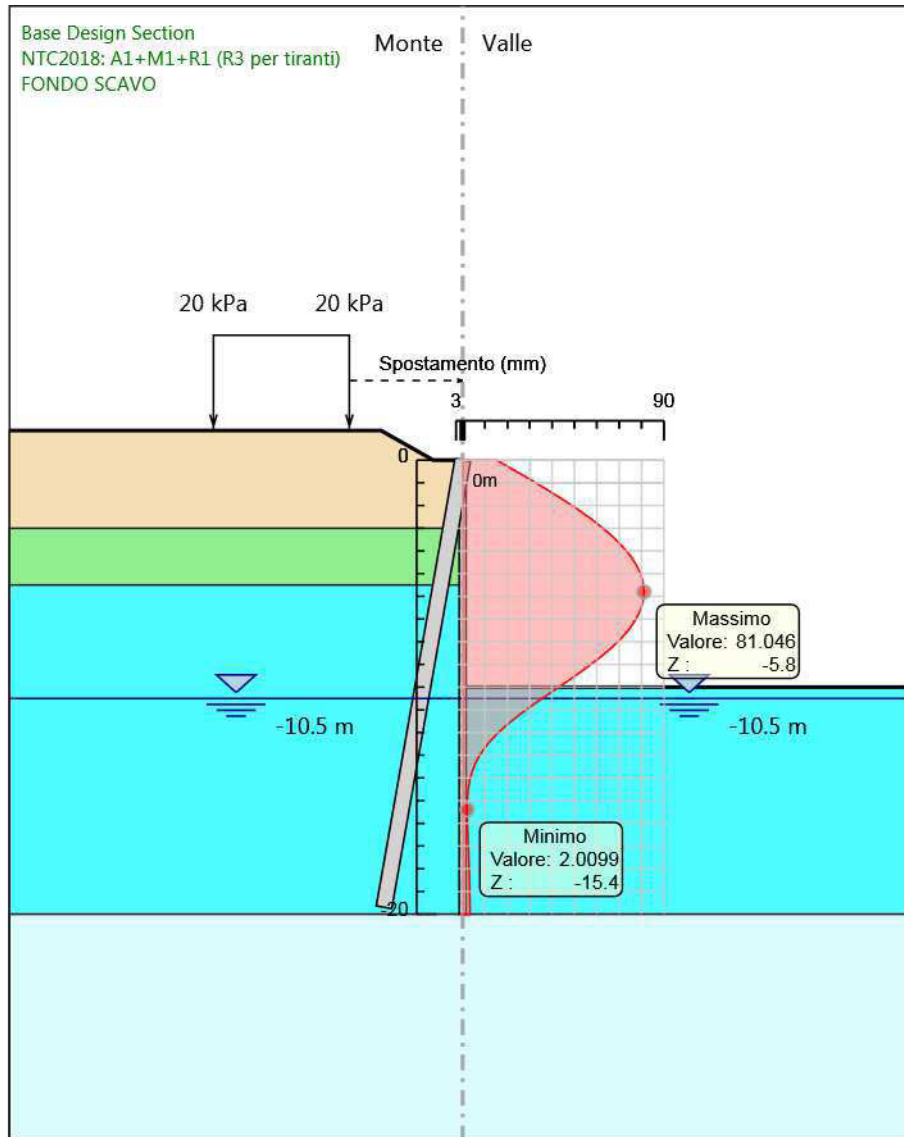
Design Assumption: NTC2018: A1+M1+R1 (R3 per tiranti) Risultati Paratia		Muro: LEFT	
Stage	Z (m)	Momento (kN*m/m)	Taglio (kN/m)
FONDO SCAVO	-11	-178.4	-180.94
FONDO SCAVO	-11.2	-212	-167.97
FONDO SCAVO	-11.4	-242.59	-152.94
FONDO SCAVO	-11.6	-269.75	-135.84
FONDO SCAVO	-11.8	-293.09	-116.67
FONDO SCAVO	-12	-312.17	-95.44
FONDO SCAVO	-12.2	-326.6	-72.14
FONDO SCAVO	-12.4	-335.96	-46.77
FONDO SCAVO	-12.6	-339.83	-19.34
FONDO SCAVO	-12.8	-337.8	10.15
FONDO SCAVO	-13	-329.45	41.72
FONDO SCAVO	-13.2	-315.19	71.3
FONDO SCAVO	-13.4	-295.76	97.15
FONDO SCAVO	-13.6	-272.79	114.87
FONDO SCAVO	-13.8	-247.64	125.75
FONDO SCAVO	-14	-221.44	130.98
FONDO SCAVO	-14.2	-195.11	131.63
FONDO SCAVO	-14.4	-169.38	128.68
FONDO SCAVO	-14.6	-144.78	122.98
FONDO SCAVO	-14.8	-121.73	115.26
FONDO SCAVO	-15	-100.5	106.16
FONDO SCAVO	-15.2	-81.25	96.21
FONDO SCAVO	-15.4	-64.08	85.85
FONDO SCAVO	-15.6	-49	75.43
FONDO SCAVO	-15.8	-35.95	65.23
FONDO SCAVO	-16	-24.86	55.46
FONDO SCAVO	-16.2	-15.6	46.29
FONDO SCAVO	-16.4	-8.04	37.81
FONDO SCAVO	-16.6	-2.02	30.1
FONDO SCAVO	-16.8	2.62	23.19
FONDO SCAVO	-17	6.04	17.08
FONDO SCAVO	-17.2	8.39	11.77
FONDO SCAVO	-17.4	9.83	7.22
FONDO SCAVO	-17.6	10.51	3.4
FONDO SCAVO	-17.8	10.57	0.26
FONDO SCAVO	-18	10.12	-2.25
FONDO SCAVO	-18.2	9.28	-4.17
FONDO SCAVO	-18.4	8.17	-5.55
FONDO SCAVO	-18.6	6.88	-6.44
FONDO SCAVO	-18.8	5.51	-6.86
FONDO SCAVO	-19	4.14	-6.86
FONDO SCAVO	-19.2	2.85	-6.45
FONDO SCAVO	-19.4	1.72	-5.66
FONDO SCAVO	-19.6	0.82	-4.5
FONDO SCAVO	-19.8	0.22	-2.98
FONDO SCAVO	-20	0	-1.11

Grafico Spostamento NTC2018: A1+M1+R1 (R3 per tiranti) - Stage: Stage A



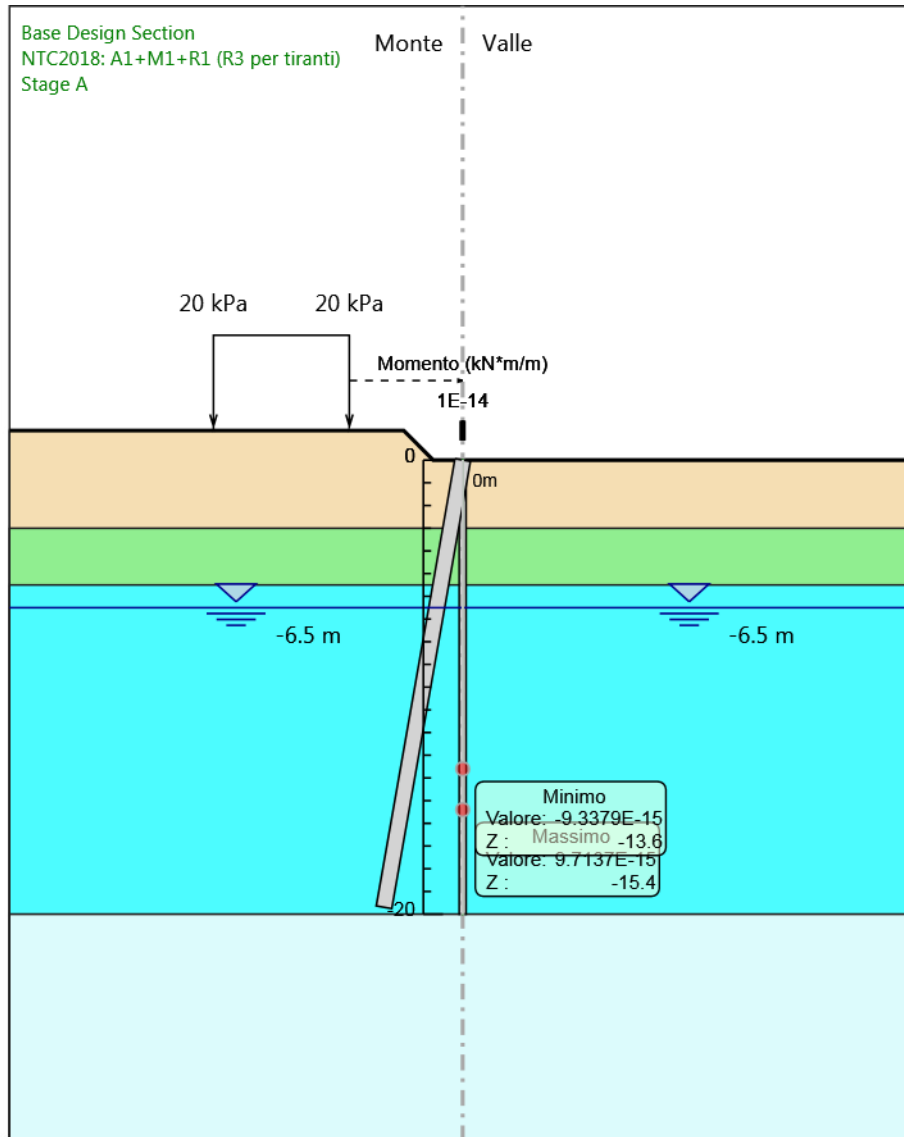
Design Assumption: NTC2018: A1+M1+R1 (R3 per tiranti)
Stage: Stage A
Spostamento

Grafico Spostamento NTC2018: A1+M1+R1 (R3 per tiranti) - Stage: FONDO SCAVO



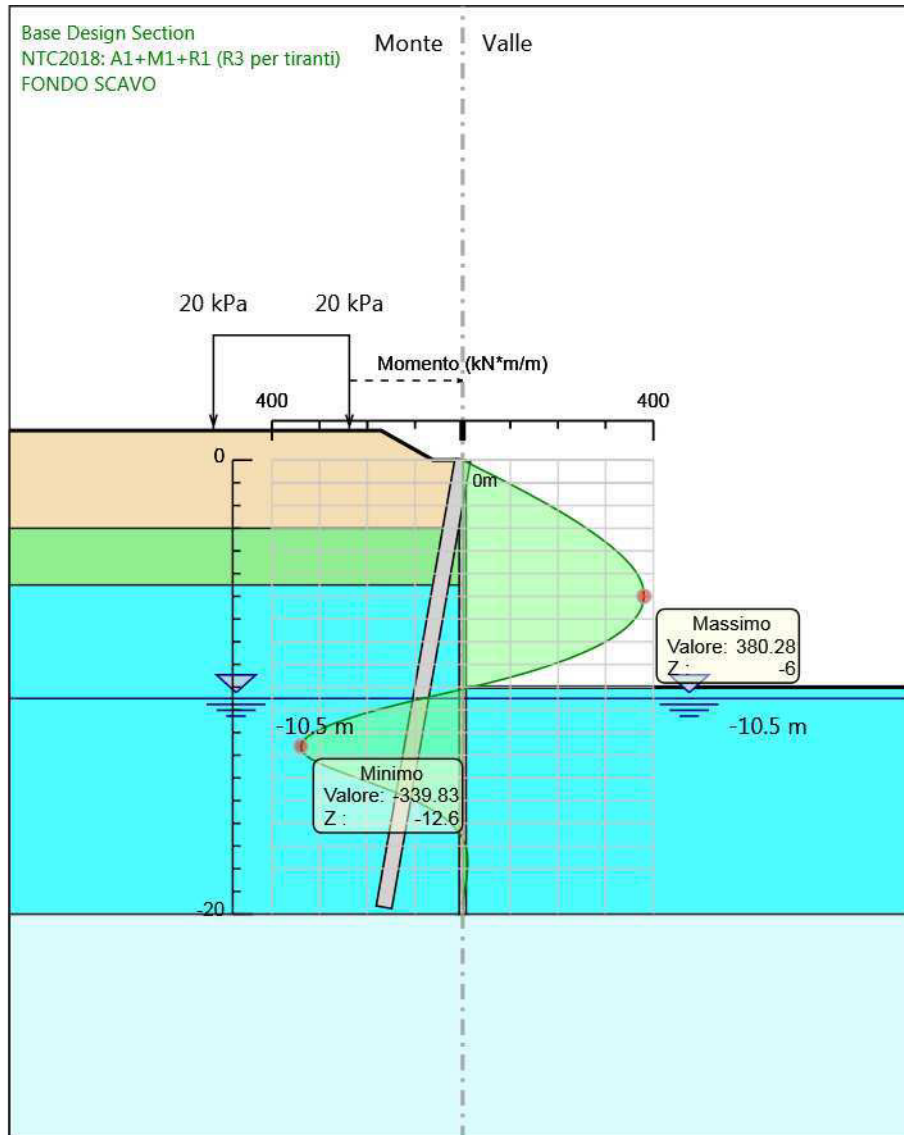
Design Assumption: NTC2018: A1+M1+R1 (R3 per tiranti)
Stage: FONDO SCAVO
Spostamento

Grafico Risultati Momento NTC2018: A1+M1+R1 (R3 per tiranti) - Stage: Stage A



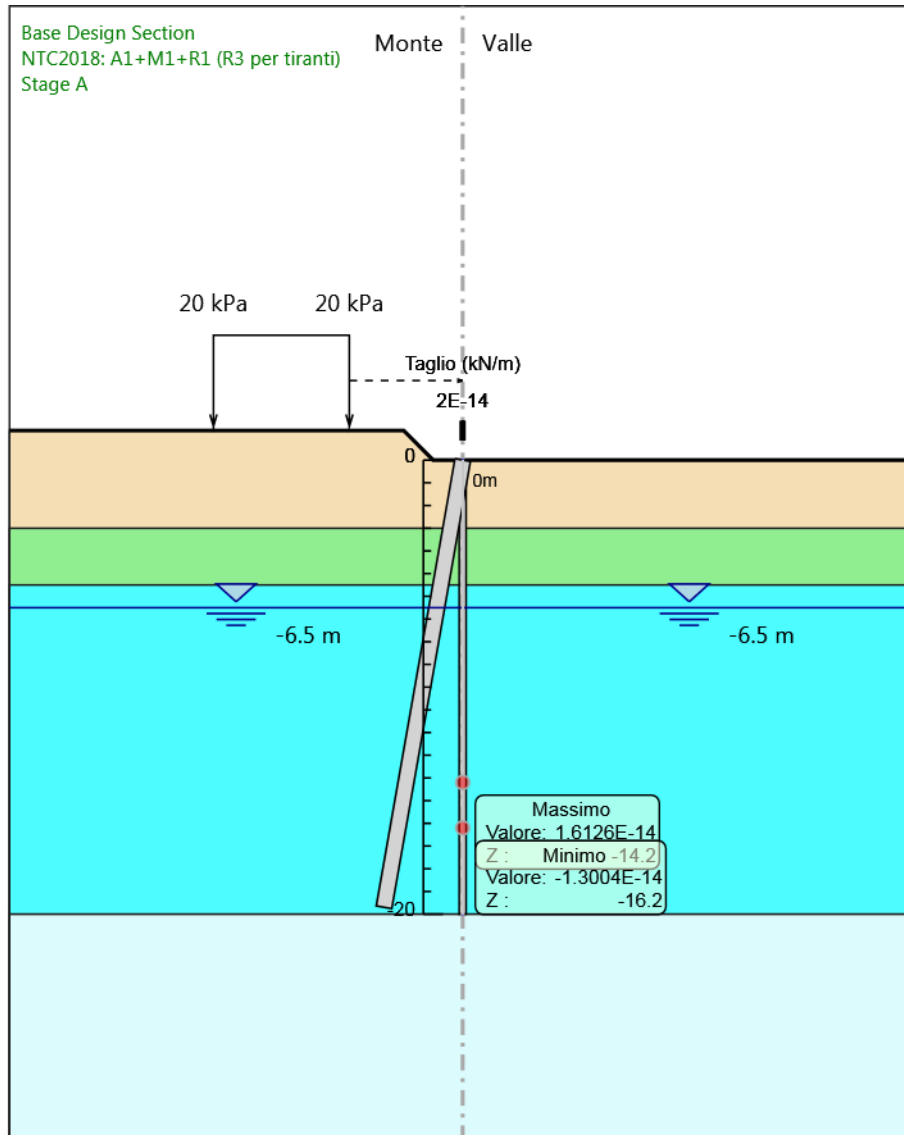
Design Assumption: NTC2018: A1+M1+R1 (R3 per tiranti)
Stage: Stage A
Momento

Grafico Risultati Momento NTC2018: A1+M1+R1 (R3 per tiranti) - Stage: FONDO SCAVO



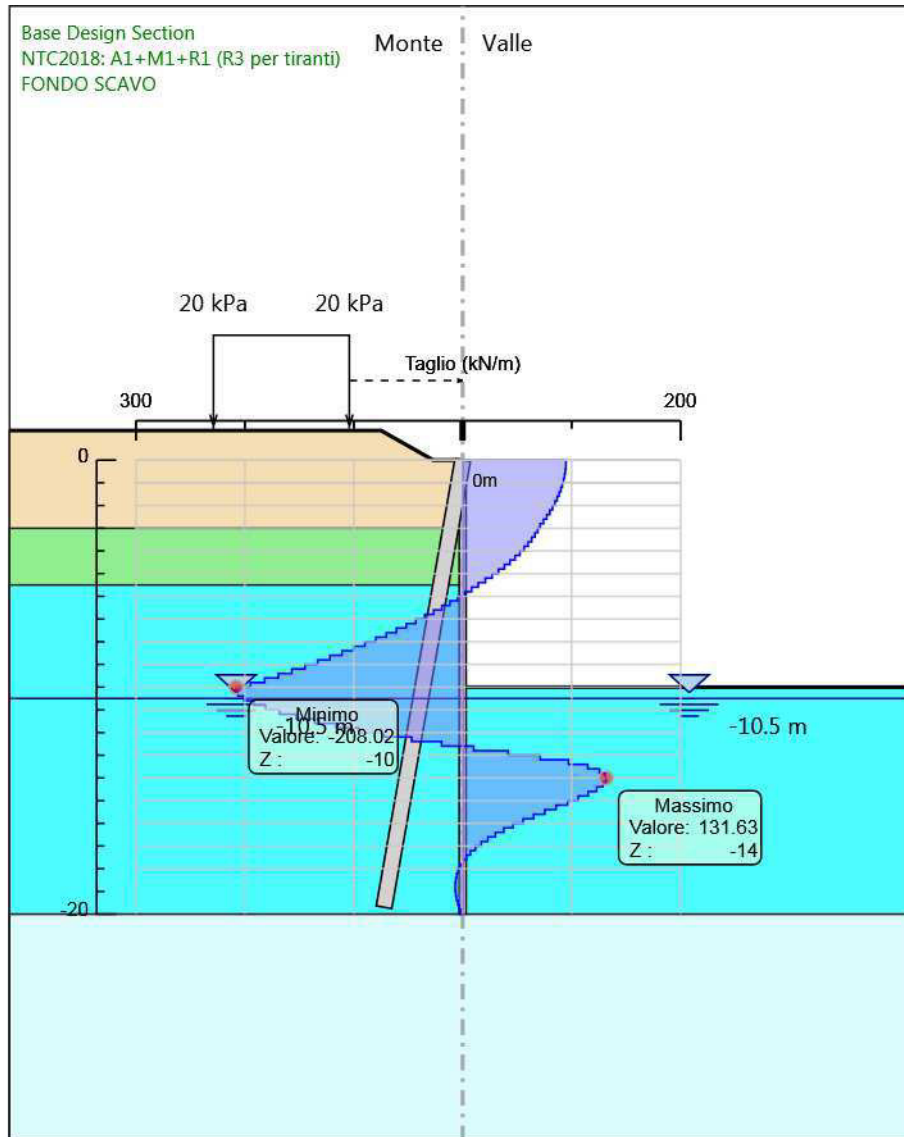
Design Assumption: NTC2018: A1+M1+R1 (R3 per tiranti)
Stage: FONDO SCAVO
Momento

Grafico Risultati Taglio NTC2018: A1+M1+R1 (R3 per tiranti) - Stage: Stage A



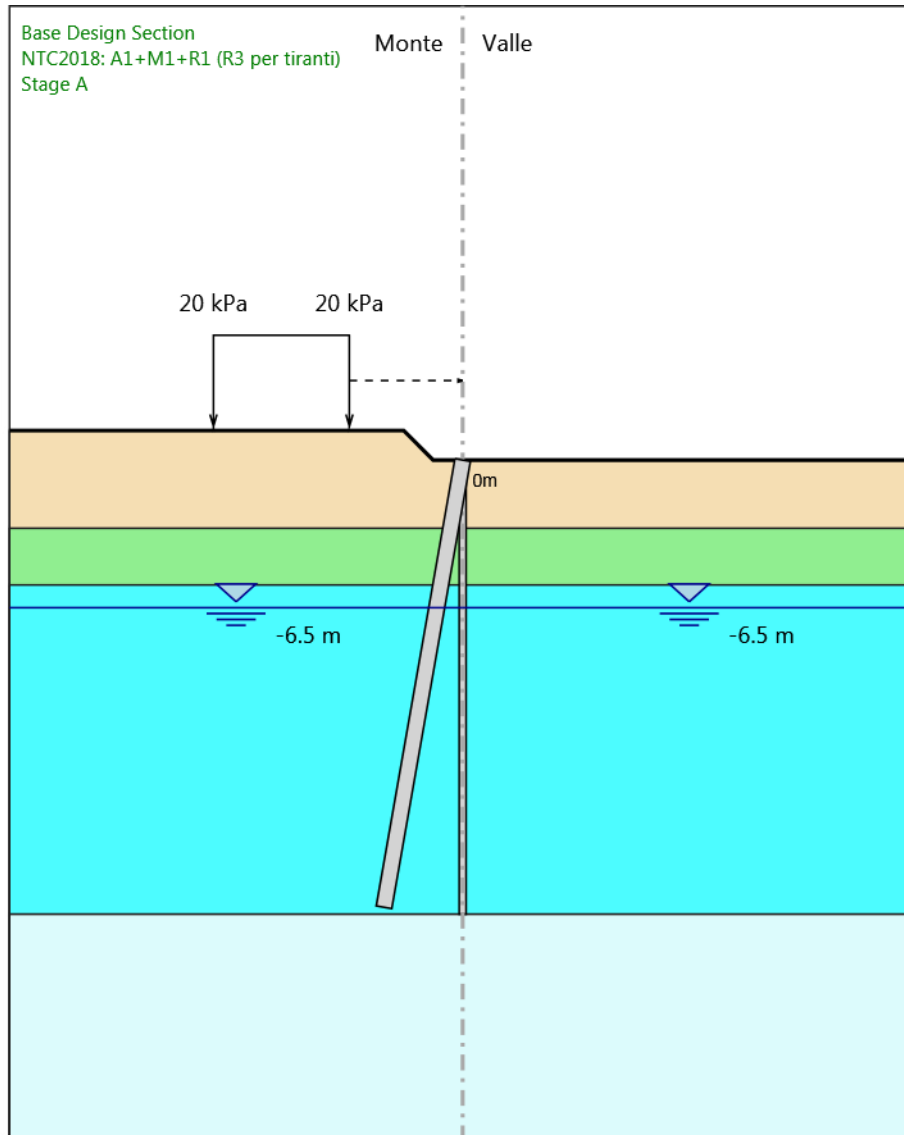
Design Assumption: NTC2018: A1+M1+R1 (R3 per tiranti)
Stage: Stage A
Taglio

Grafico Risultati Taglio NTC2018: A1+M1+R1 (R3 per tiranti) - Stage: FONDO SCAVO



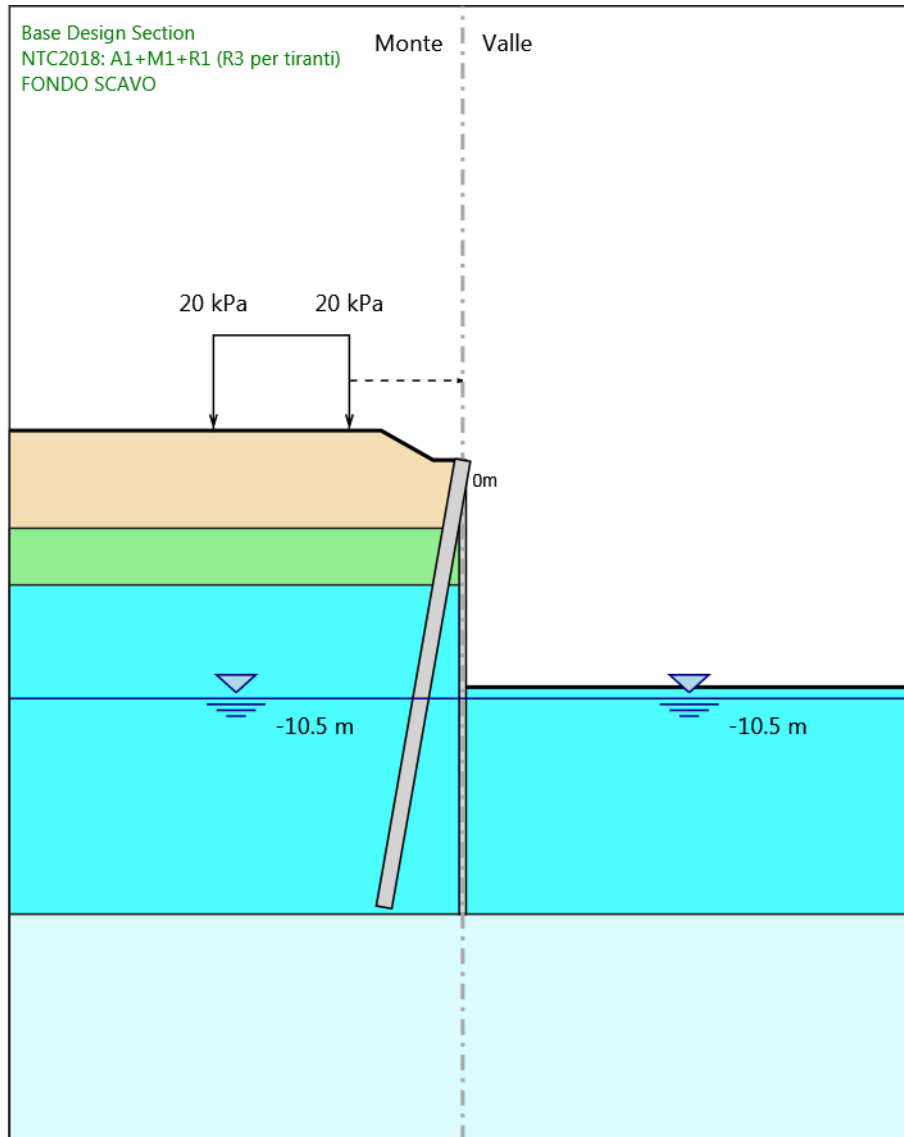
Design Assumption: NTC2018: A1+M1+R1 (R3 per tiranti)
Stage: FONDO SCAVO
Taglio

Grafico Risultati Momento NTC2018: A1+M1+R1 (R3 per tiranti) - Stage: Stage A



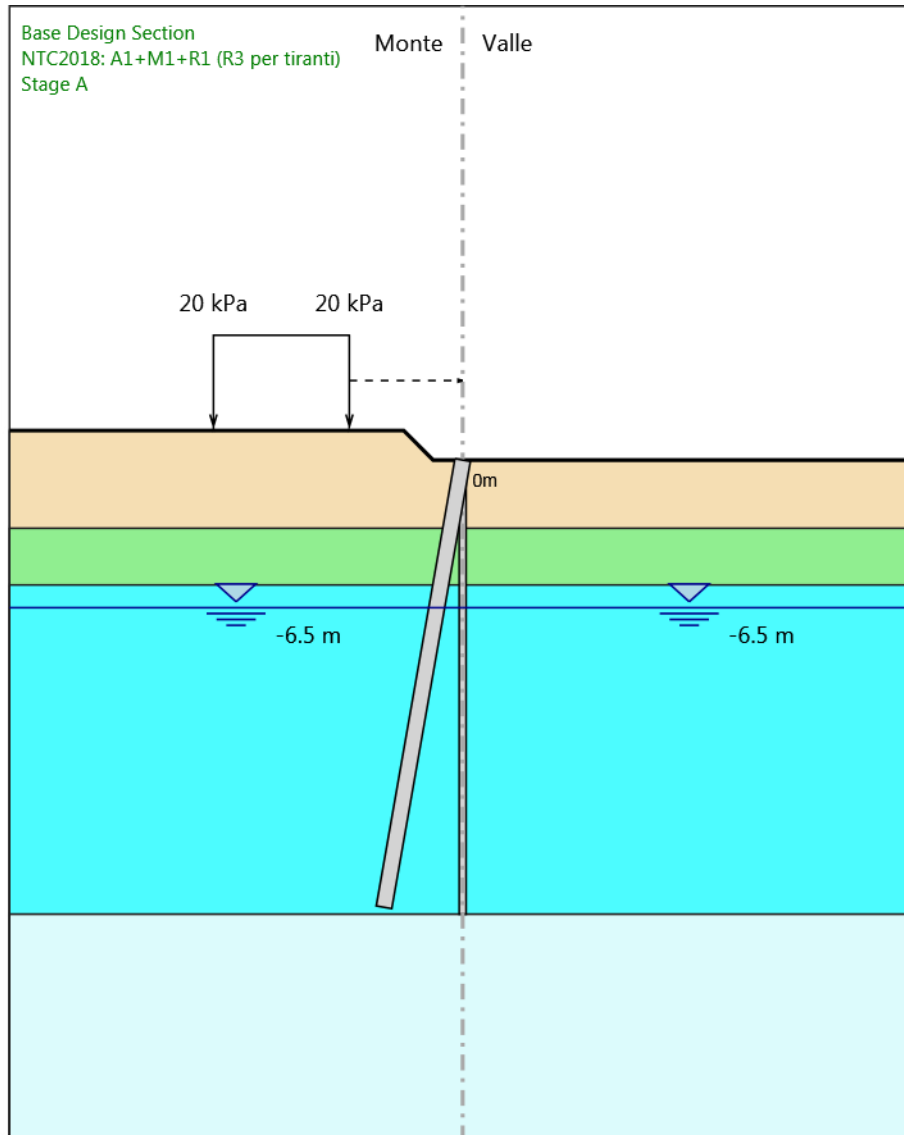
Design Assumption: NTC2018: A1+M1+R1 (R3 per tiranti)
Stage: Stage A
Momento

Grafico Risultati Momento NTC2018: A1+M1+R1 (R3 per tiranti) - Stage: FONDO SCAVO



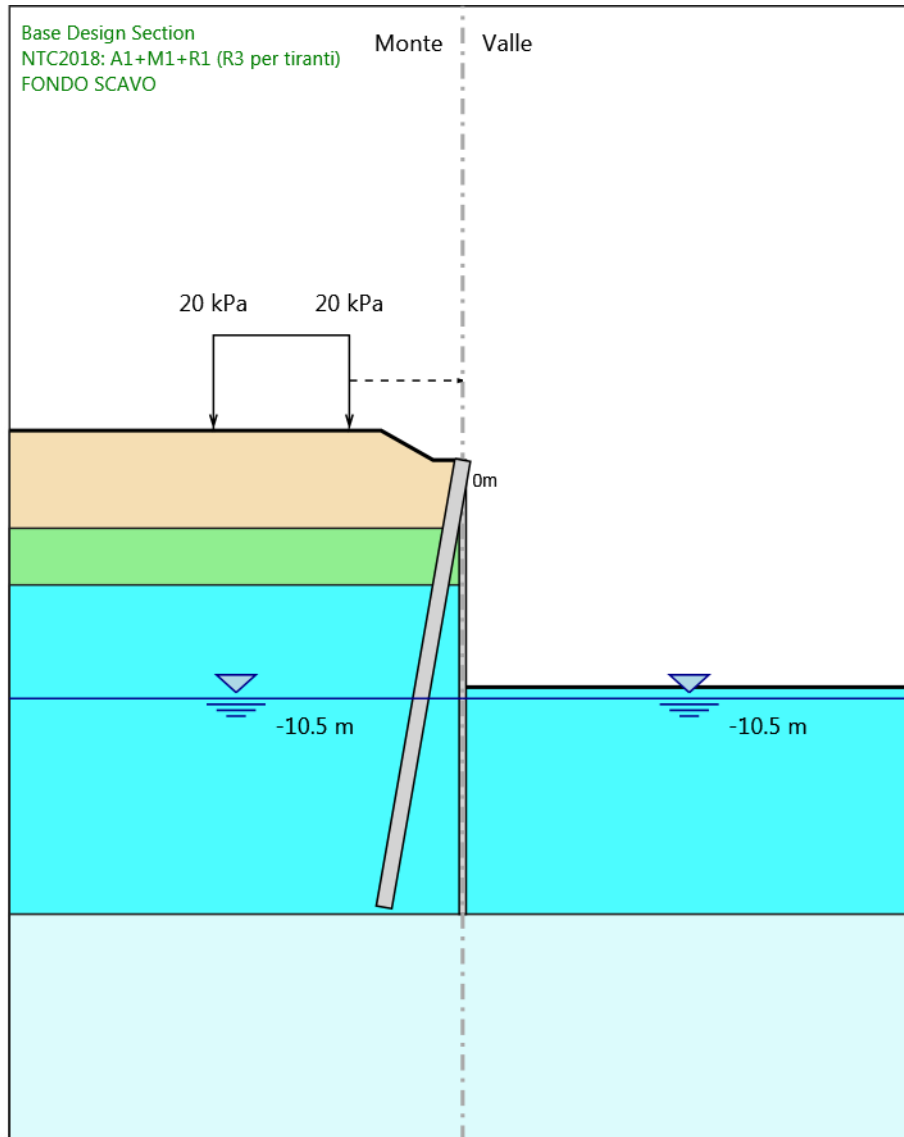
Design Assumption: NTC2018: A1+M1+R1 (R3 per tiranti)
Stage: FONDO SCAVO
Momento

Grafico Risultati Taglio NTC2018: A1+M1+R1 (R3 per tiranti) - Stage: Stage A



Design Assumption: NTC2018: A1+M1+R1 (R3 per tiranti)
Stage: Stage A
Taglio

Grafico Risultati Taglio NTC2018: A1+M1+R1 (R3 per tiranti) - Stage: FONDO SCAVO



Design Assumption: NTC2018: A1+M1+R1 (R3 per tiranti)
Stage: FONDO SCAVO
Taglio

Risultati Elementi strutturali - NTC2018: A1+M1+R1 (R3 per tiranti)

Design Assumption: NTC2018: A1+M1+R1 (R3 per tiranti) Sollecitazione CAVALLETTO

Stage	Forza (kN/m)
Stage A	-1.142551904E-16
FONDO SCAVO	546.88855

Risultati NTC2018: A2+M2+R1

Tabella Risultati Paratia NTC2018: A2+M2+R1 - Left Wall - Stage: Stage A

Design Assumption: NTC2018: A2+M2+R1 Risultati Paratia		Muro: LEFT	
Stage	Z (m)	Momento (kN*m/m)	Taglio (kN/m)
Stage A	0	0	0
Stage A	-0.2	0	0
Stage A	-0.4	0	0
Stage A	-0.6	0	0
Stage A	-0.8	0	0
Stage A	-1	0	0
Stage A	-1.2	0	0
Stage A	-1.4	0	0
Stage A	-1.6	0	0
Stage A	-1.8	0	0
Stage A	-2	0	0
Stage A	-2.2	0	0
Stage A	-2.4	0	0
Stage A	-2.6	0	0
Stage A	-2.8	0	0
Stage A	-3	0	0
Stage A	-3.2	0	0
Stage A	-3.4	0	0
Stage A	-3.6	0	0
Stage A	-3.8	0	0
Stage A	-4	0	0
Stage A	-4.2	0	0
Stage A	-4.4	0	0
Stage A	-4.6	0	0
Stage A	-4.8	0	0
Stage A	-5	0	0
Stage A	-5.2	0	0
Stage A	-5.4	0	0
Stage A	-5.6	0	0
Stage A	-5.8	0	0
Stage A	-6	0	0
Stage A	-6.2	0	0
Stage A	-6.4	0	0
Stage A	-6.6	0	0
Stage A	-6.8	0	0
Stage A	-7	0	0
Stage A	-7.2	0	0
Stage A	-7.4	0	0
Stage A	-7.6	0	0
Stage A	-7.8	0	0
Stage A	-8	0	0
Stage A	-8.2	0	0
Stage A	-8.4	0	0
Stage A	-8.6	0	0
Stage A	-8.8	0	0
Stage A	-9	0	0
Stage A	-9.2	0	0
Stage A	-9.4	0	0
Stage A	-9.6	0	0
Stage A	-9.8	0	0
Stage A	-10	0	0
Stage A	-10.2	0	0
Stage A	-10.4	0	0

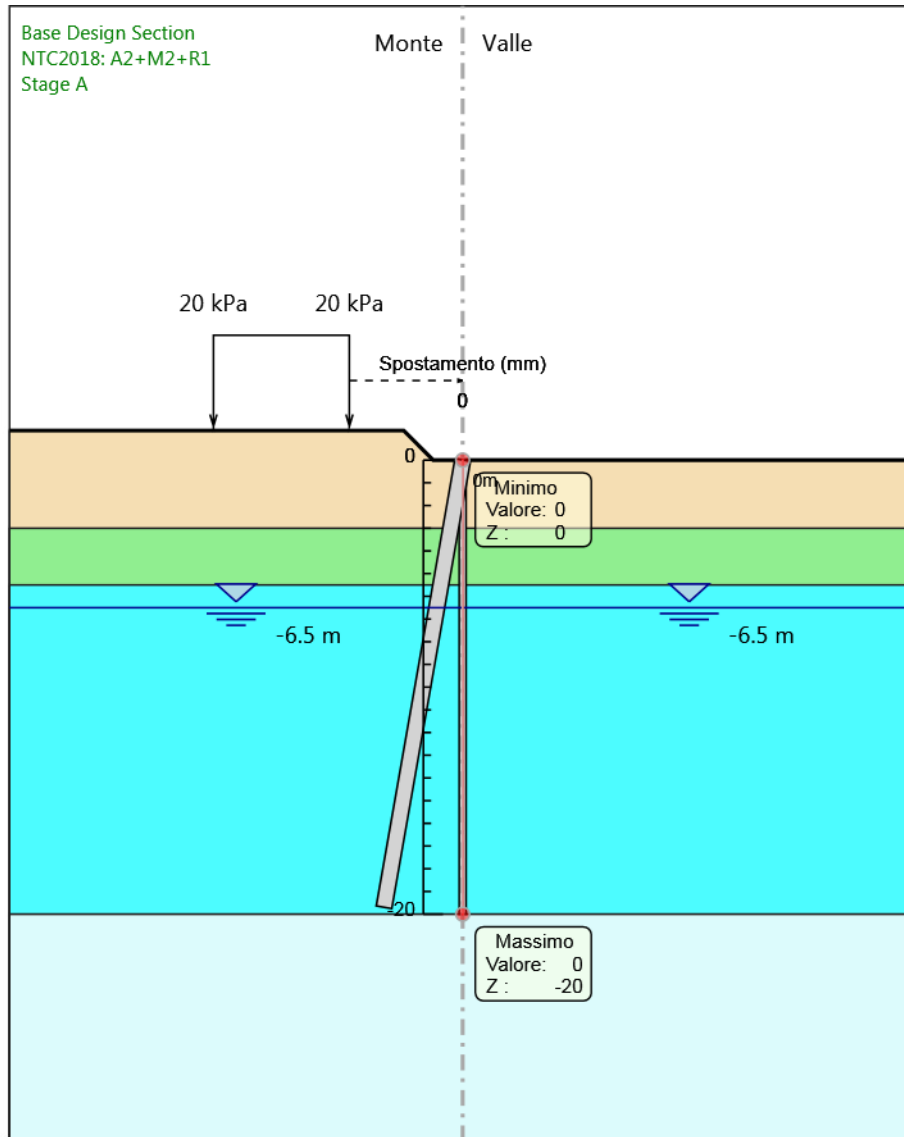
Design Assumption: NTC2018: A2+M2+R1 Risultati Paratia		Muro: LEFT	
Stage	Z (m)	Momento (kN*m/m)	Taglio (kN/m)
Stage A	-10.6	0	0
Stage A	-10.8	0	0
Stage A	-11	0	0
Stage A	-11.2	0	0
Stage A	-11.4	0	0
Stage A	-11.6	0	0
Stage A	-11.8	0	0
Stage A	-12	0	0
Stage A	-12.2	0	0
Stage A	-12.4	0	0
Stage A	-12.6	0	0
Stage A	-12.8	0	0
Stage A	-13	0	0
Stage A	-13.2	0	0
Stage A	-13.4	0	0
Stage A	-13.6	0	0
Stage A	-13.8	0	0
Stage A	-14	0	0
Stage A	-14.2	0	0
Stage A	-14.4	0	0
Stage A	-14.6	0	0
Stage A	-14.8	0	0
Stage A	-15	0	0
Stage A	-15.2	0	0
Stage A	-15.4	0	0
Stage A	-15.6	0	0
Stage A	-15.8	0	0
Stage A	-16	0	0
Stage A	-16.2	0	0
Stage A	-16.4	0	0
Stage A	-16.6	0	0
Stage A	-16.8	0	0
Stage A	-17	0	0
Stage A	-17.2	0	0
Stage A	-17.4	0	0
Stage A	-17.6	0	0
Stage A	-17.8	0	0
Stage A	-18	0	0
Stage A	-18.2	0	0
Stage A	-18.4	0	0
Stage A	-18.6	0	0
Stage A	-18.8	0	0
Stage A	-19	0	0
Stage A	-19.2	0	0
Stage A	-19.4	0	0
Stage A	-19.6	0	0
Stage A	-19.8	0	0
Stage A	-20	0	0

Tabella Risultati Paratia NTC2018: A2+M2+R1 - Left Wall - Stage: FONDO SCAVO

Design Assumption: NTC2018: A2+M2+R1 Risultati Paratia		Muro: LEFT	
Stage	Z (m)	Momento (kN*m/m)	Taglio (kN/m)
FONDO SCAVO	0	0	82.3
FONDO SCAVO	-0.2	16.46	82.3
FONDO SCAVO	-0.4	32.88	82.12
FONDO SCAVO	-0.6	49.24	81.77
FONDO SCAVO	-0.8	65.49	81.25
FONDO SCAVO	-1	81.6	80.55
FONDO SCAVO	-1.2	97.53	79.68
FONDO SCAVO	-1.4	113.26	78.63
FONDO SCAVO	-1.6	128.74	77.41
FONDO SCAVO	-1.8	143.94	76.01
FONDO SCAVO	-2	158.83	74.44
FONDO SCAVO	-2.2	173.37	72.69
FONDO SCAVO	-2.4	187.52	70.77
FONDO SCAVO	-2.6	201.26	68.67
FONDO SCAVO	-2.8	214.54	66.39
FONDO SCAVO	-3	227.32	63.94
FONDO SCAVO	-3.2	239.68	61.77
FONDO SCAVO	-3.4	251.54	59.31
FONDO SCAVO	-3.6	262.86	56.58
FONDO SCAVO	-3.8	273.57	53.57
FONDO SCAVO	-4	283.63	50.28
FONDO SCAVO	-4.2	292.97	46.71
FONDO SCAVO	-4.4	301.54	42.87
FONDO SCAVO	-4.6	309.29	38.75
FONDO SCAVO	-4.8	316.16	34.35
FONDO SCAVO	-5	322.1	29.66
FONDO SCAVO	-5.2	327.03	24.68
FONDO SCAVO	-5.4	330.91	19.4
FONDO SCAVO	-5.6	333.68	13.83
FONDO SCAVO	-5.8	335.43	8.75
FONDO SCAVO	-6	336.11	3.41
FONDO SCAVO	-6.2	335.67	-2.2
FONDO SCAVO	-6.4	334.05	-8.06
FONDO SCAVO	-6.6	331.22	-14.19
FONDO SCAVO	-6.8	327.1	-20.58
FONDO SCAVO	-7	321.65	-27.23
FONDO SCAVO	-7.2	314.83	-34.13
FONDO SCAVO	-7.4	306.57	-41.3
FONDO SCAVO	-7.6	296.82	-48.72
FONDO SCAVO	-7.8	285.54	-56.4
FONDO SCAVO	-8	272.68	-64.34
FONDO SCAVO	-8.2	258.17	-72.53
FONDO SCAVO	-8.4	241.98	-80.98
FONDO SCAVO	-8.6	224.04	-89.68
FONDO SCAVO	-8.8	204.31	-98.64
FONDO SCAVO	-9	182.74	-107.86
FONDO SCAVO	-9.2	159.28	-117.33
FONDO SCAVO	-9.4	133.87	-127.05
FONDO SCAVO	-9.6	106.46	-137.03
FONDO SCAVO	-9.8	77.01	-147.25
FONDO SCAVO	-10	45.47	-157.71
FONDO SCAVO	-10.2	11.78	-168.42
FONDO SCAVO	-10.4	-22.08	-169.33
FONDO SCAVO	-10.6	-55.49	-167.07
FONDO SCAVO	-10.8	-87.98	-162.42
FONDO SCAVO	-11	-119.22	-156.19

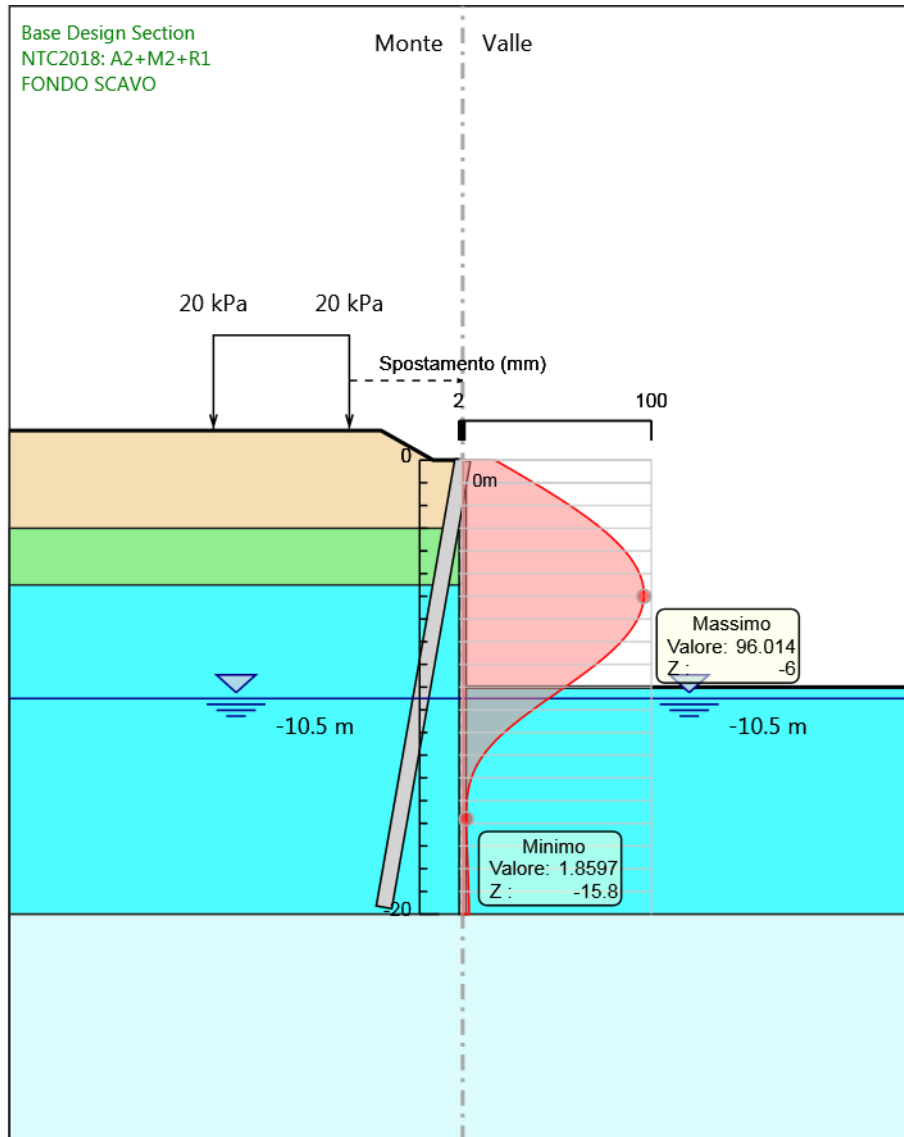
Design Assumption: NTC2018: A2+M2+R1 Risultati Paratia		Muro: LEFT	
Stage	Z (m)	Momento (kN*m/m)	Taglio (kN/m)
FONDO SCAVO	-11.2	-148.89	-148.36
FONDO SCAVO	-11.4	-176.68	-138.94
FONDO SCAVO	-11.6	-202.26	-127.94
FONDO SCAVO	-11.8	-225.33	-115.34
FONDO SCAVO	-12	-245.56	-101.15
FONDO SCAVO	-12.2	-262.64	-85.38
FONDO SCAVO	-12.4	-276.24	-68.01
FONDO SCAVO	-12.6	-286.05	-49.06
FONDO SCAVO	-12.8	-291.75	-28.51
FONDO SCAVO	-13	-293.03	-6.38
FONDO SCAVO	-13.2	-289.56	17.35
FONDO SCAVO	-13.4	-281.03	42.66
FONDO SCAVO	-13.6	-267.38	68.22
FONDO SCAVO	-13.8	-249.71	88.36
FONDO SCAVO	-14	-229.34	101.85
FONDO SCAVO	-14.2	-207.39	109.77
FONDO SCAVO	-14.4	-184.77	113.1
FONDO SCAVO	-14.6	-162.22	112.74
FONDO SCAVO	-14.8	-140.32	109.5
FONDO SCAVO	-15	-119.51	104.06
FONDO SCAVO	-15.2	-100.1	97.05
FONDO SCAVO	-15.4	-82.3	88.97
FONDO SCAVO	-15.6	-66.25	80.27
FONDO SCAVO	-15.8	-51.99	71.28
FONDO SCAVO	-16	-39.53	62.31
FONDO SCAVO	-16.2	-28.82	53.58
FONDO SCAVO	-16.4	-19.77	45.25
FONDO SCAVO	-16.6	-12.28	37.45
FONDO SCAVO	-16.8	-6.22	30.27
FONDO SCAVO	-17	-1.47	23.76
FONDO SCAVO	-17.2	2.12	17.94
FONDO SCAVO	-17.4	4.69	12.83
FONDO SCAVO	-17.6	6.37	8.4
FONDO SCAVO	-17.8	7.29	4.64
FONDO SCAVO	-18	7.6	1.52
FONDO SCAVO	-18.2	7.4	-1
FONDO SCAVO	-18.4	6.81	-2.94
FONDO SCAVO	-18.6	5.94	-4.34
FONDO SCAVO	-18.8	4.89	-5.23
FONDO SCAVO	-19	3.76	-5.65
FONDO SCAVO	-19.2	2.64	-5.6
FONDO SCAVO	-19.4	1.62	-5.11
FONDO SCAVO	-19.6	0.79	-4.19
FONDO SCAVO	-19.8	0.22	-2.84
FONDO SCAVO	-20	0	-1.09

Grafico Spostamento NTC2018: A2+M2+R1 - Stage: Stage A



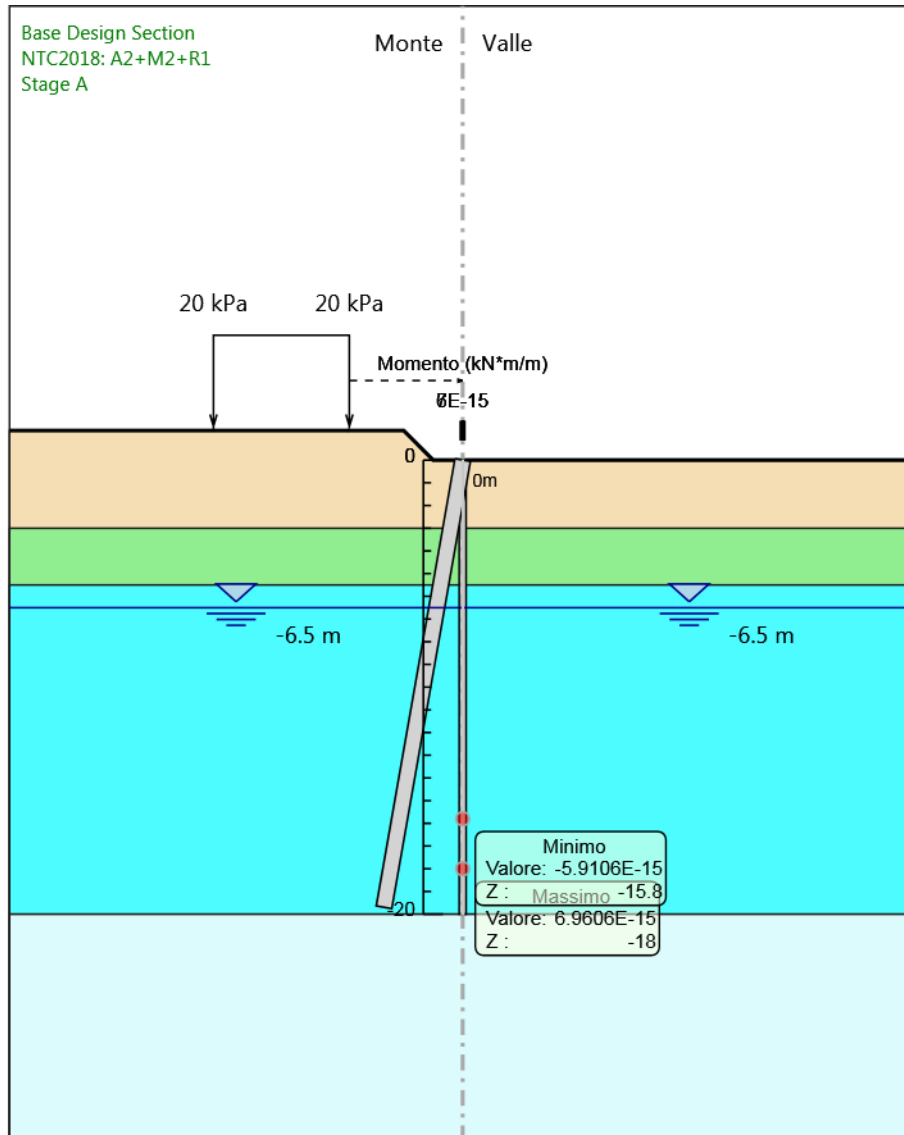
Design Assumption: NTC2018: A2+M2+R1
Stage: Stage A
Spostamento

Grafico Spostamento NTC2018: A2+M2+R1 - Stage: FONDO SCAVO



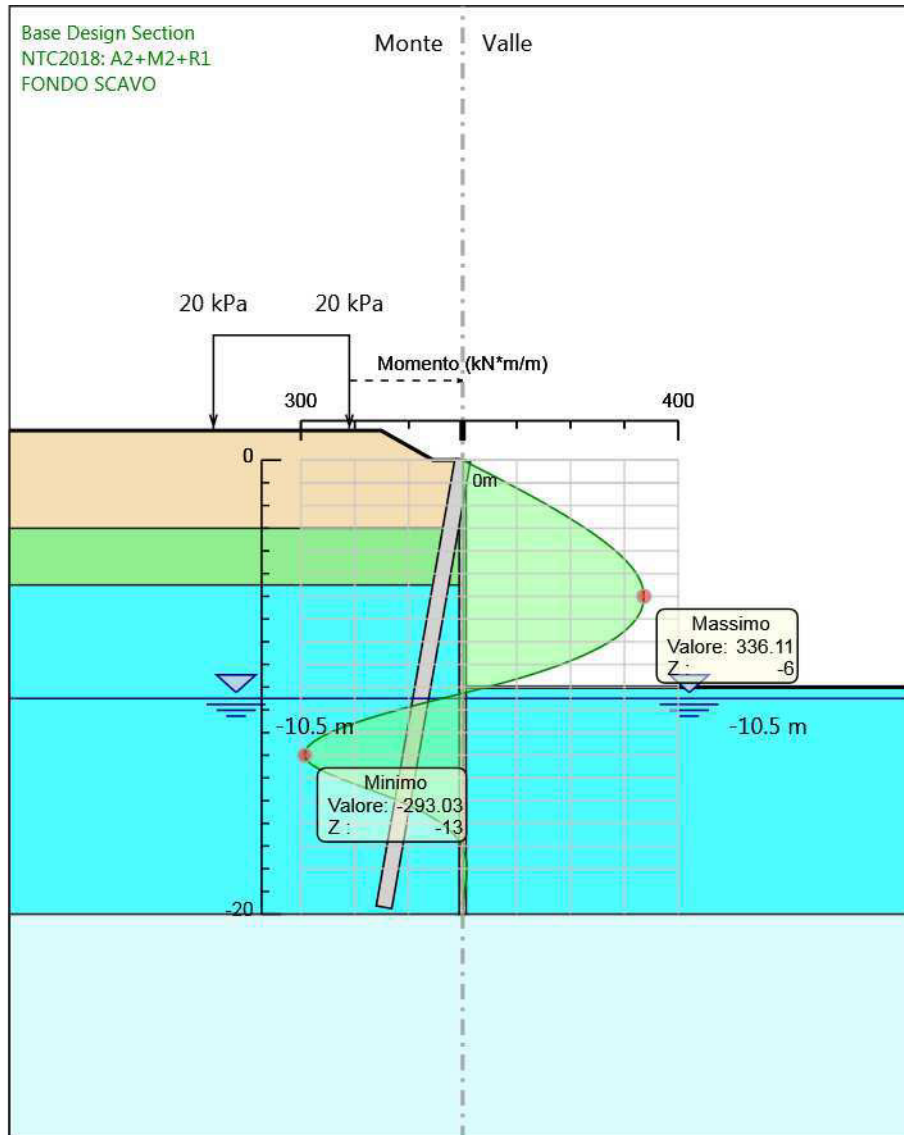
Design Assumption: NTC2018: A2+M2+R1
Stage: FONDO SCAVO
Spostamento

Grafico Risultati Momento NTC2018: A2+M2+R1 - Stage: Stage A



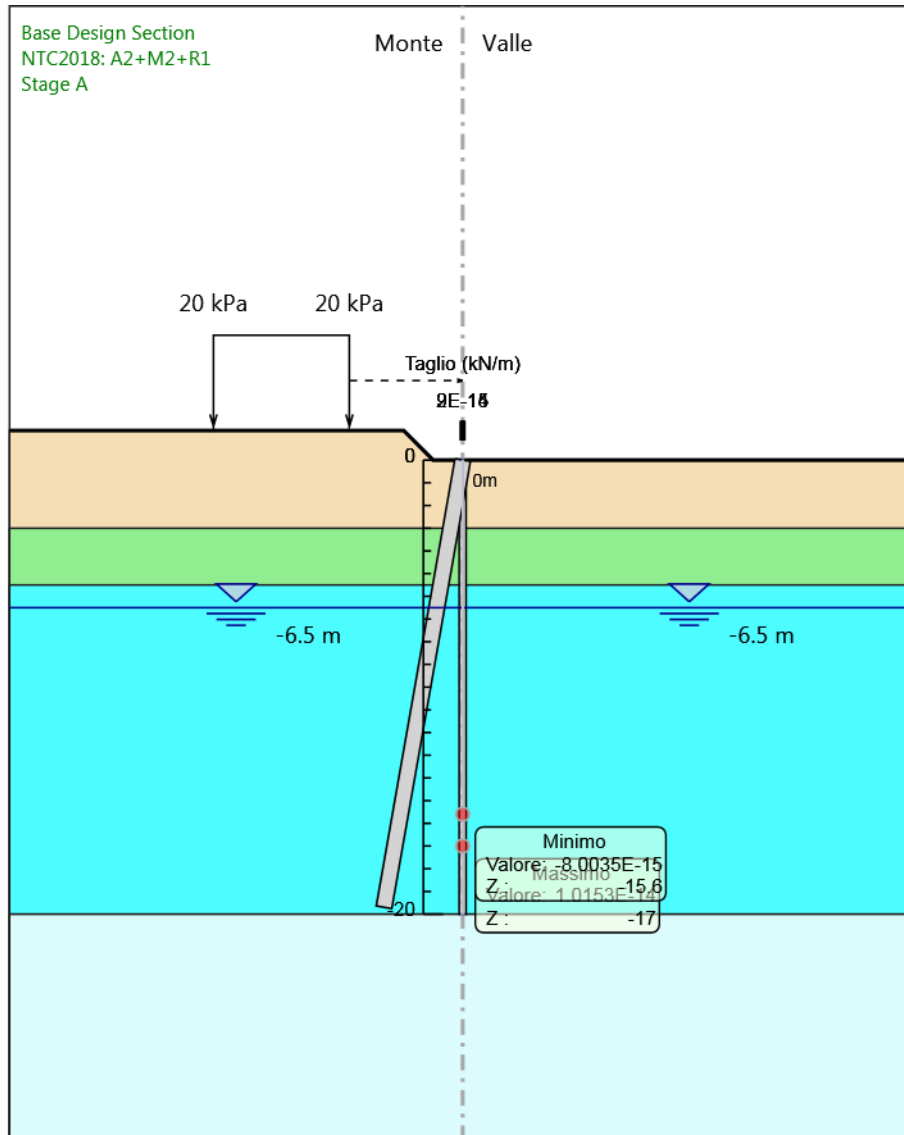
Design Assumption: NTC2018: A2+M2+R1
Stage: Stage A
Momento

Grafico Risultati Momento NTC2018: A2+M2+R1 - Stage: FONDO SCAVO



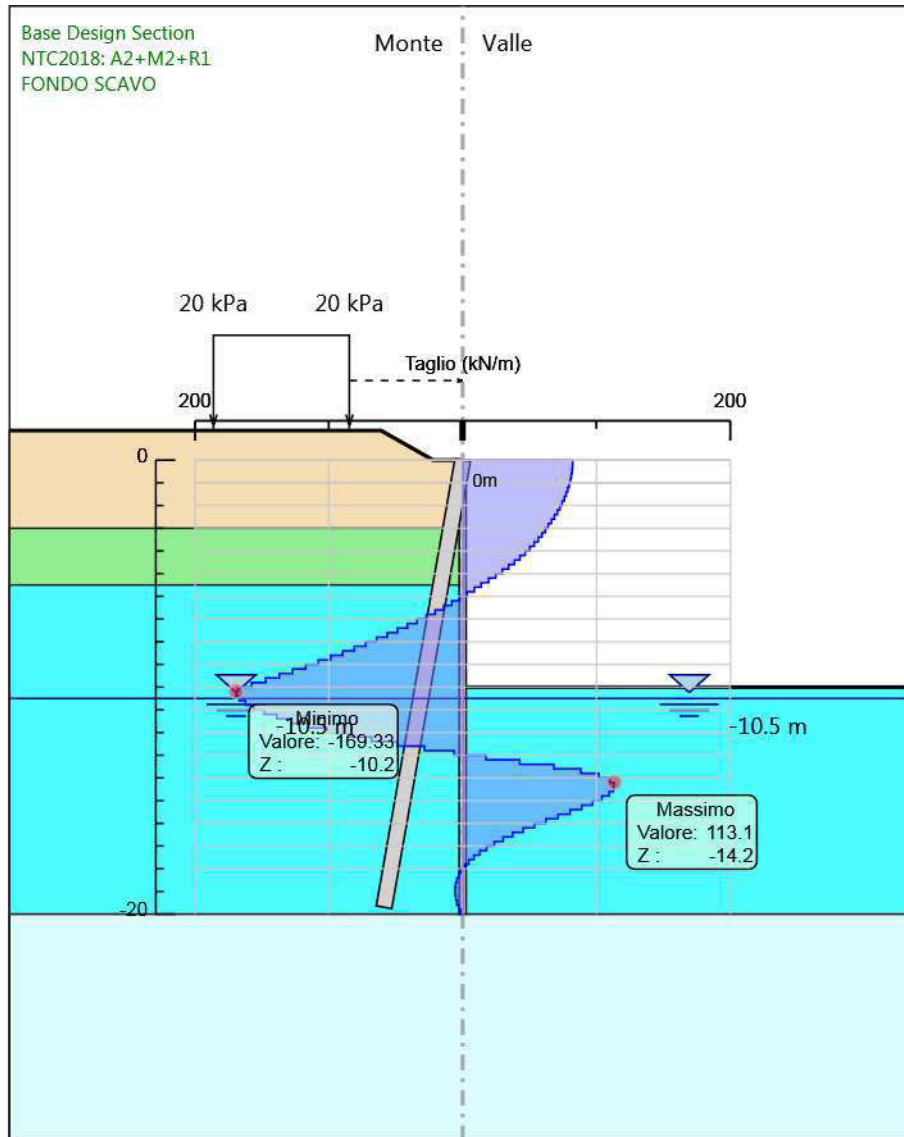
Design Assumption: NTC2018: A2+M2+R1
Stage: FONDO SCAVO
Momento

Grafico Risultati Taglio NTC2018: A2+M2+R1 - Stage: Stage A



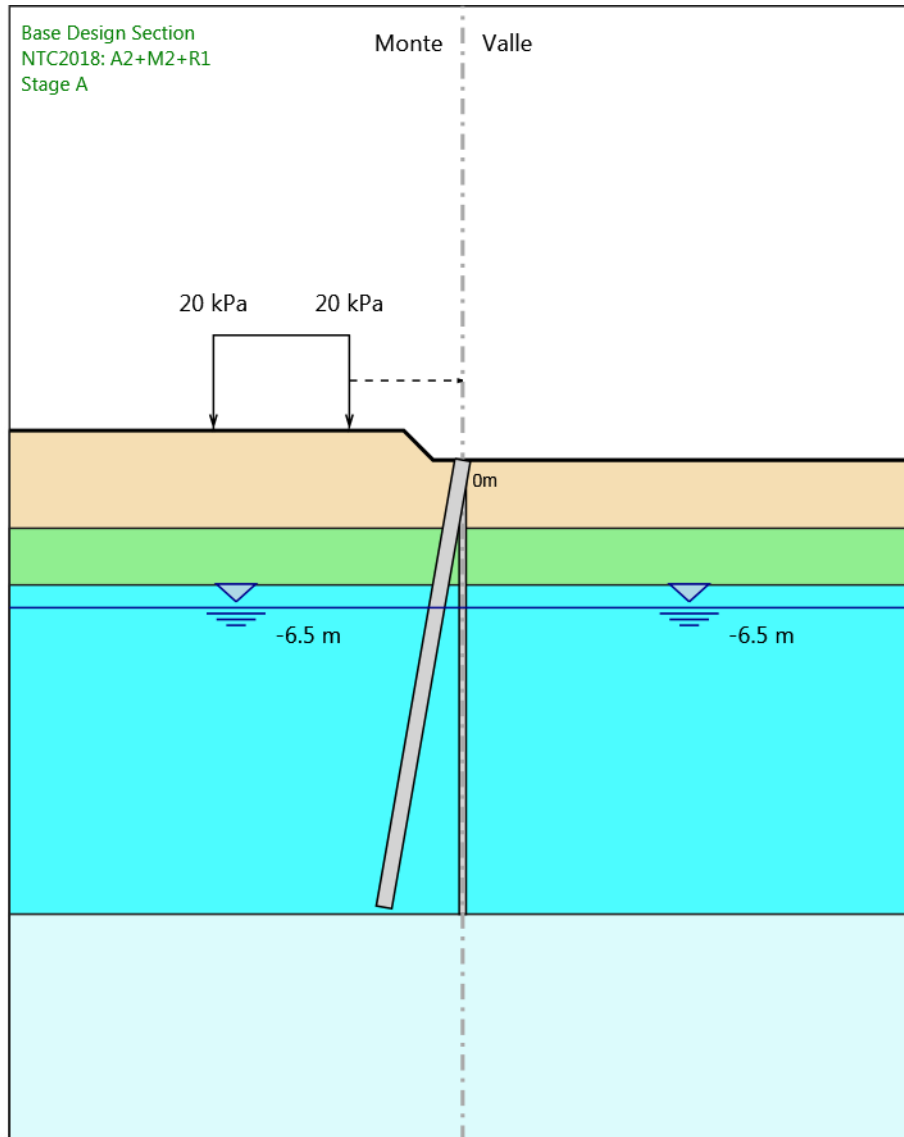
Design Assumption: NTC2018: A2+M2+R1
Stage: Stage A
Taglio

Grafico Risultati Taglio NTC2018: A2+M2+R1 - Stage: FONDO SCAVO



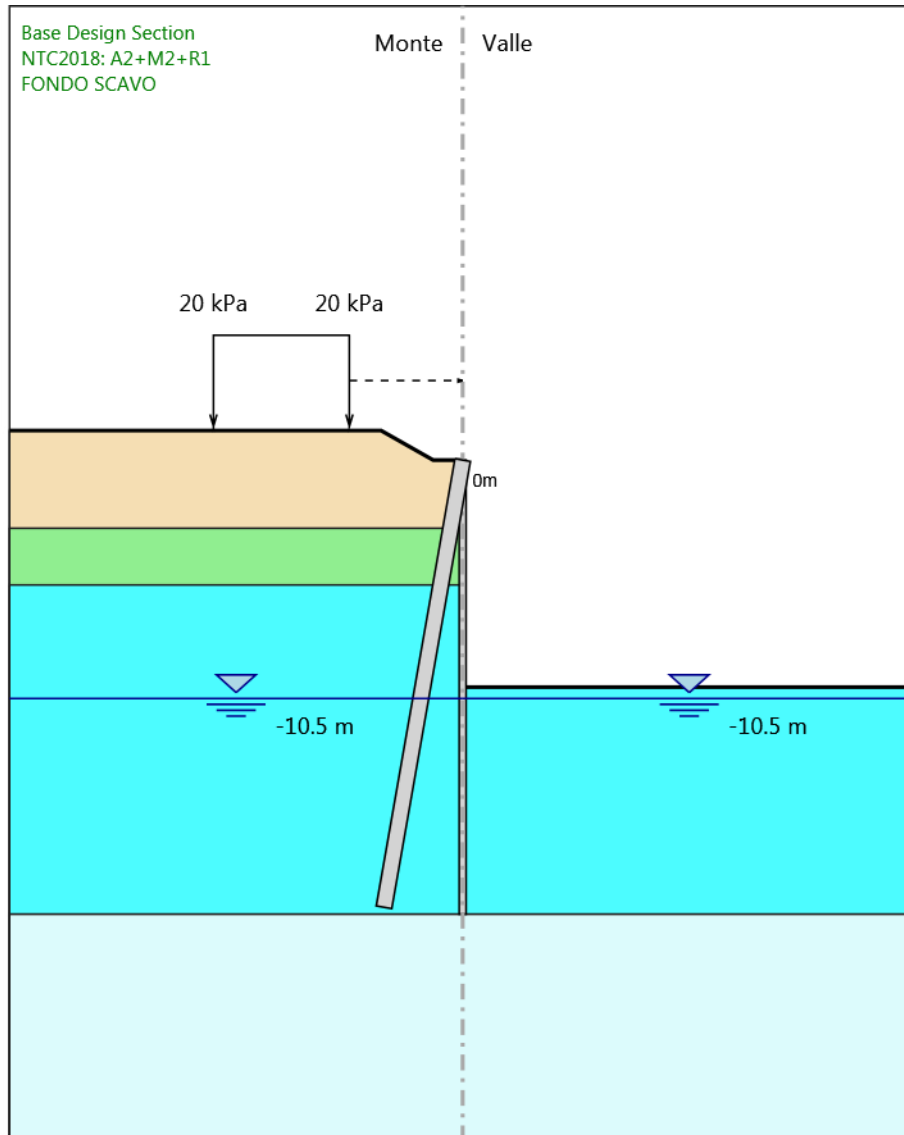
Design Assumption: NTC2018: A2+M2+R1
Stage: FONDO SCAVO
Taglio

Grafico Risultati Momento NTC2018: A2+M2+R1 - Stage: Stage A



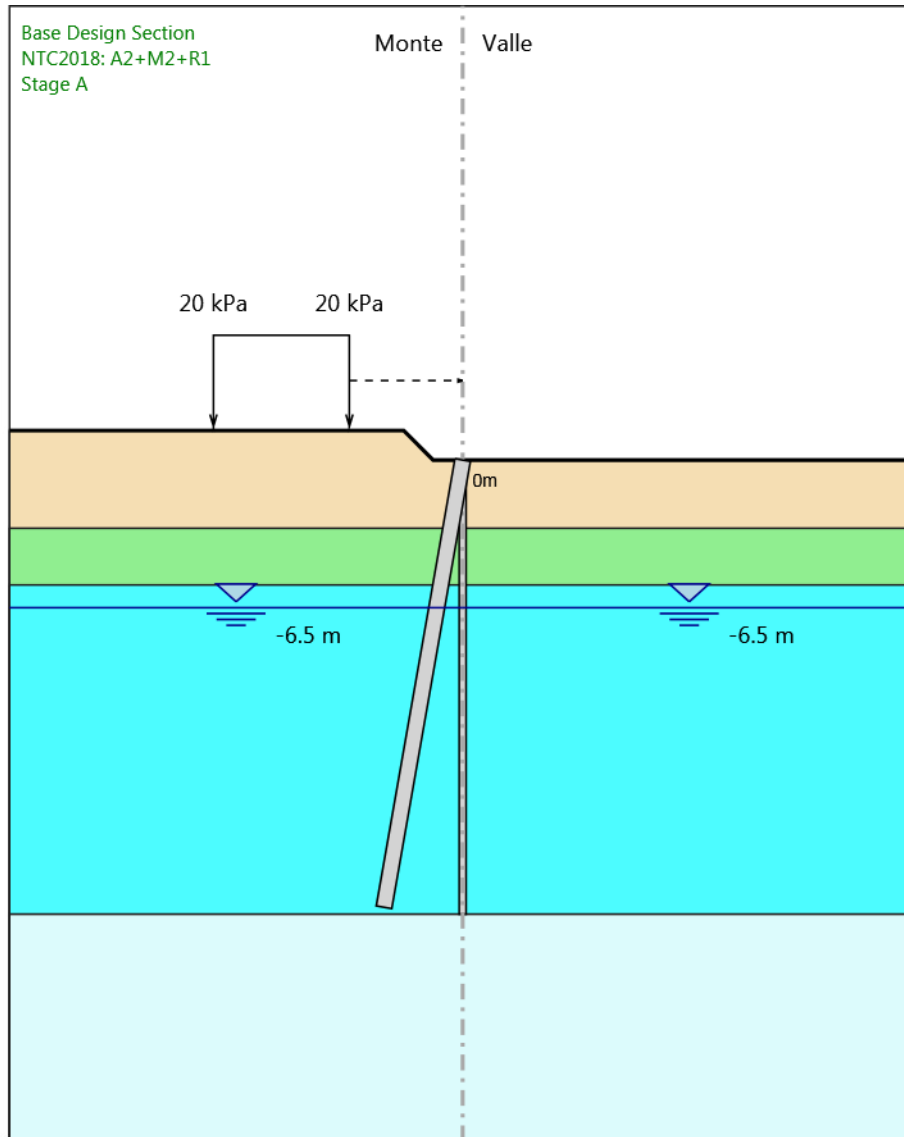
Design Assumption: NTC2018: A2+M2+R1
Stage: Stage A
Momento

Grafico Risultati Momento NTC2018: A2+M2+R1 - Stage: FONDO SCAVO



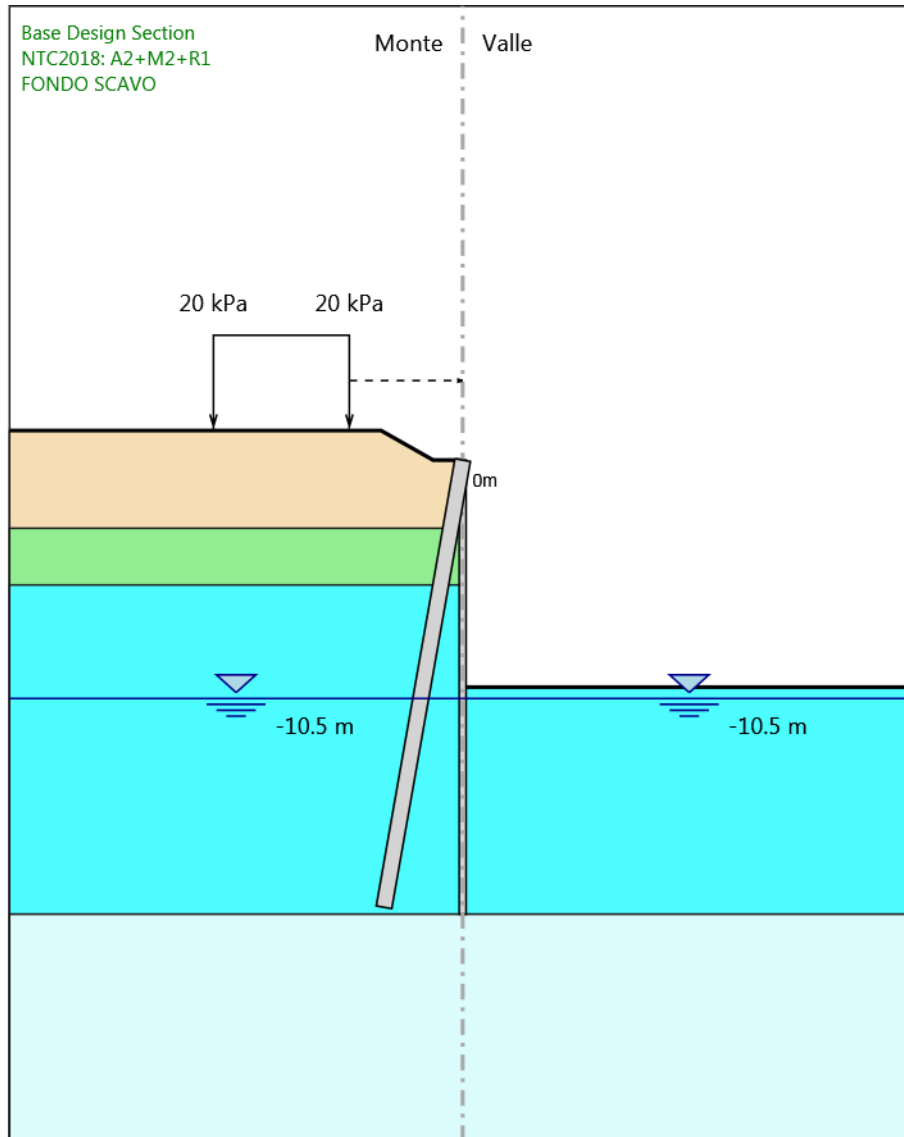
Design Assumption: NTC2018: A2+M2+R1
Stage: FONDO SCAVO
Momento

Grafico Risultati Taglio NTC2018: A2+M2+R1 - Stage: Stage A



Design Assumption: NTC2018: A2+M2+R1
Stage: Stage A
Taglio

Grafico Risultati Taglio NTC2018: A2+M2+R1 - Stage: FONDO SCAVO



Design Assumption: NTC2018: A2+M2+R1
Stage: FONDO SCAVO
Taglio

Risultati Elementi strutturali - NTC2018: A2+M2+R1

Design Assumption: NTC2018: A2+M2+R1 Sollecitazione CAVALLETTO

Stage	Forza (kN/m)
Stage A	-1.5687484E-17
FONDO SCAVO	473.9566

Normative adottate per le verifiche degli Elementi Strutturali

Normative Verifiche

Calcestruzzo	NTC
Acciaio	NTC
Tirante	NTC

Coefficienti per Verifica Tiranti

GEO FS	1
ξ_{a3}	1.8
γ_s	1.15

Riepilogo Stage / Design Assumption per Inviluppo

Design Assumption	Stage A FONDO SCAVO	
NTC2018: SLE (Rara/Frequente/Quasi Permanente)	V	V
NTC2018: A1+M1+R1 (R3 per tiranti)	V	V
NTC2018: A2+M2+R1		

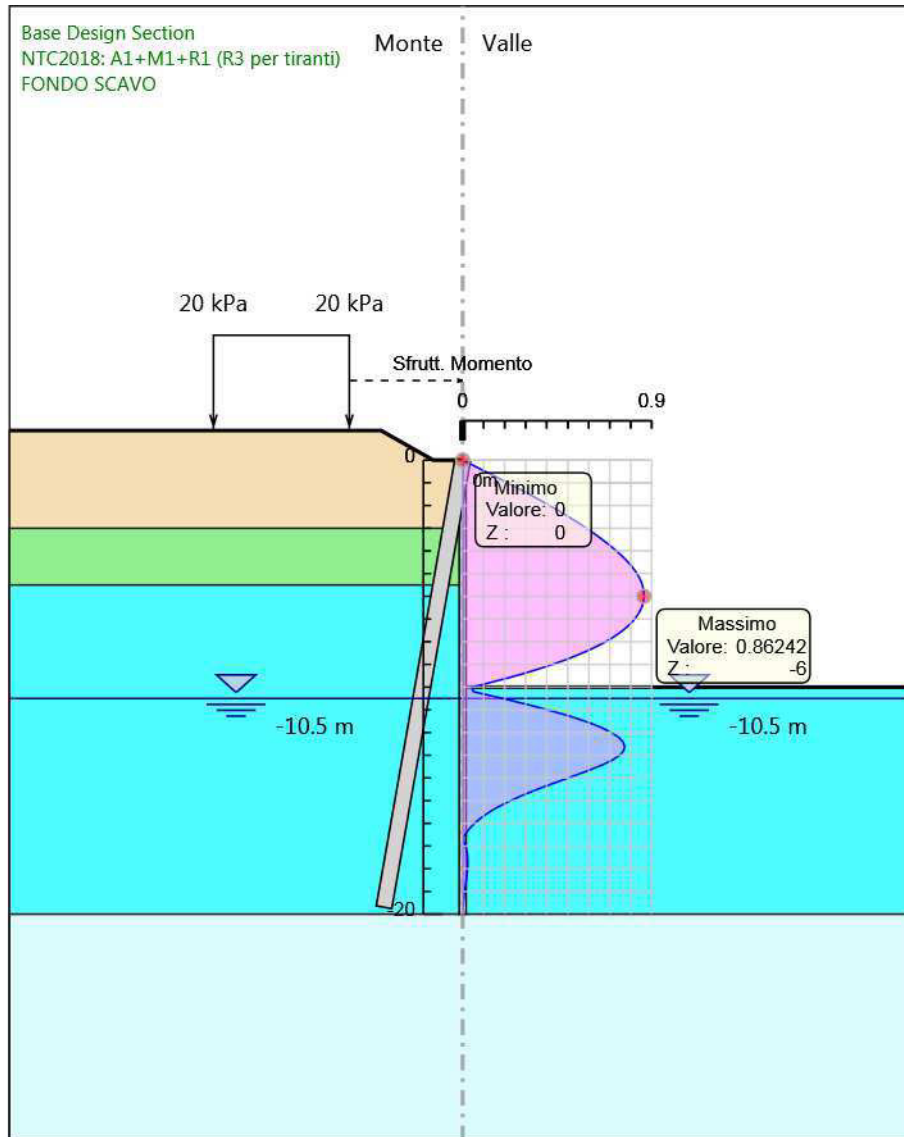
Risultati SteelWorld

Tabella Inviluppi Tasso di Sfruttamento a Momento - SteelWorld : LEFT

Inviluppi Tasso di Sfruttamento a Momento - SteelWorld		LEFT
Z (m)	Tasso di Sfruttamento a Momento - SteelWorld	
0	0	
-0.2	0.043	
-0.4	0.086	
-0.6	0.129	
-0.8	0.171	
-1	0.213	
-1.2	0.255	
-1.4	0.296	
-1.6	0.336	
-1.8	0.375	
-2	0.414	
-2.2	0.451	
-2.4	0.487	
-2.6	0.523	
-2.8	0.556	
-3	0.589	
-3.2	0.62	
-3.4	0.65	
-3.6	0.679	
-3.8	0.706	
-4	0.732	
-4.2	0.756	
-4.4	0.777	
-4.6	0.797	
-4.8	0.815	
-5	0.829	
-5.2	0.842	
-5.4	0.851	
-5.6	0.858	
-5.8	0.862	
-6	0.862	
-6.2	0.86	
-6.4	0.855	
-6.6	0.846	
-6.8	0.834	
-7	0.818	
-7.2	0.799	
-7.4	0.775	
-7.6	0.748	
-7.8	0.716	
-8	0.68	
-8.2	0.639	
-8.4	0.594	
-8.6	0.543	
-8.8	0.488	
-9	0.428	
-9.2	0.362	
-9.4	0.291	
-9.6	0.214	
-9.8	0.132	
-10	0.043	
-10.2	0.051	
-10.4	0.144	

Inviluppi Tasso di Sfruttamento a Momento - SteelWorld	LEFT
Z (m)	Tasso di Sfruttamento a Momento - SteelWorld
-10.6	0.236
-10.8	0.323
-11	0.405
-11.2	0.481
-11.4	0.55
-11.6	0.612
-11.8	0.665
-12	0.708
-12.2	0.741
-12.4	0.762
-12.6	0.771
-12.8	0.766
-13	0.747
-13.2	0.715
-13.4	0.671
-13.6	0.619
-13.8	0.562
-14	0.502
-14.2	0.442
-14.4	0.384
-14.6	0.328
-14.8	0.276
-15	0.228
-15.2	0.184
-15.4	0.145
-15.6	0.111
-15.8	0.082
-16	0.056
-16.2	0.035
-16.4	0.018
-16.6	0.005
-16.8	0.006
-17	0.014
-17.2	0.019
-17.4	0.022
-17.6	0.024
-17.8	0.024
-18	0.023
-18.2	0.021
-18.4	0.019
-18.6	0.016
-18.8	0.013
-19	0.009
-19.2	0.006
-19.4	0.004
-19.6	0.002
-19.8	0.001
-20	0

Grafico Involuppi Tasso di Sfruttamento a Momento - SteelWorld



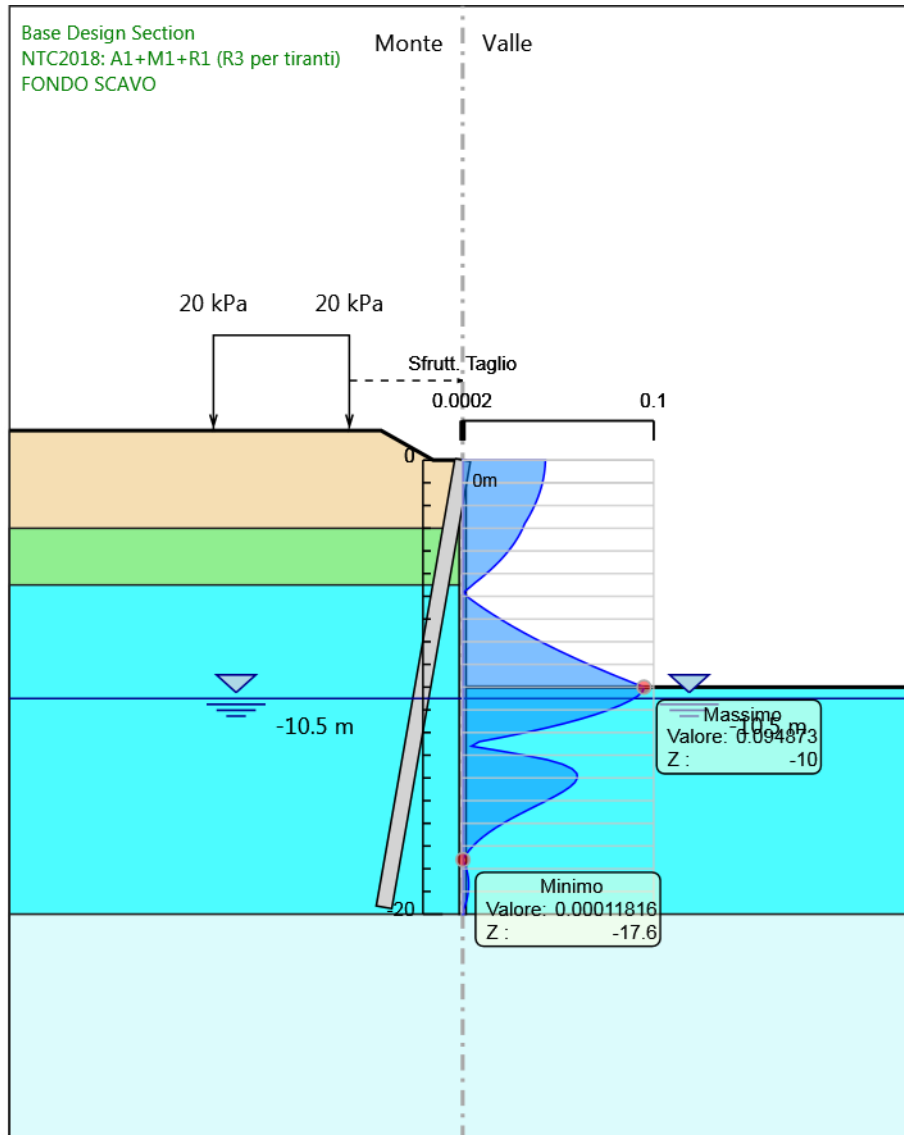
Involuppi
Tasso di Sfruttamento a Momento - SteelWorld

Tabella Involuppi Tasso di Sfruttamento a Taglio - SteelWorld : LEFT

Involuppi Tasso di Sfruttamento a Taglio - SteelWorld		LEFT
Z (m)	Tasso di Sfruttamento a Taglio - SteelWorld	
0		0.043
-0.2		0.043
-0.4		0.043
-0.6		0.043
-0.8		0.042
-1		0.042
-1.2		0.041
-1.4		0.04
-1.6		0.04
-1.8		0.039
-2		0.038
-2.2		0.036
-2.4		0.035
-2.6		0.034
-2.8		0.032
-3		0.031
-3.2		0.03
-3.4		0.029
-3.6		0.027
-3.8		0.026
-4		0.024
-4.2		0.022
-4.4		0.02
-4.6		0.018
-4.8		0.015
-5		0.012
-5.2		0.01
-5.4		0.007
-5.6		0.004
-5.8		0.001
-6		0.002
-6.2		0.005
-6.4		0.009
-6.6		0.012
-6.8		0.016
-7		0.02
-7.2		0.024
-7.4		0.028
-7.6		0.032
-7.8		0.036
-8		0.041
-8.2		0.046
-8.4		0.051
-8.6		0.056
-8.8		0.061
-9		0.066
-9.2		0.072
-9.4		0.077
-9.6		0.083
-9.8		0.089
-10		0.095
-10.2		0.094
-10.4		0.092
-10.6		0.087
-10.8		0.083
-11		0.077

Inviluppi Tasso di Sfruttamento a Taglio - SteelWorld	LEFT
Z (m)	Tasso di Sfruttamento a Taglio - SteelWorld
-11.2	0.07
-11.4	0.062
-11.6	0.053
-11.8	0.044
-12	0.033
-12.2	0.021
-12.4	0.009
-12.6	0.005
-12.8	0.019
-13	0.033
-13.2	0.044
-13.4	0.052
-13.6	0.057
-13.8	0.06
-14	0.06
-14.2	0.059
-14.4	0.056
-14.6	0.053
-14.8	0.048
-15	0.044
-15.2	0.039
-15.4	0.034
-15.6	0.03
-15.8	0.025
-16	0.021
-16.2	0.017
-16.4	0.014
-16.6	0.011
-16.8	0.008
-17	0.005
-17.2	0.003
-17.4	0.002
-17.6	0
-17.8	0.001
-18	0.002
-18.2	0.003
-18.4	0.003
-18.6	0.003
-18.8	0.003
-19	0.003
-19.2	0.003
-19.4	0.002
-19.6	0.001
-19.8	0.001
-20	0.001

Grafico Involuppi Tasso di Sfruttamento a Taglio - SteelWorld



Involuppi
Tasso di Sfruttamento a Taglio - SteelWorld

Verifiche Tiranti NTC2018: SLE (Rara/Frequente/Quasi Permanente)

Design Assumption: NTC2018: SLE (Rara/Frequente/Quasi Permanente)	Tipo Risultato: Verifiche Tiranti	NTC2018 (ITA)						
		Sollecitazione (kN)	Resistenza GEO (kN)	Resistenza STR (kN)	Ratio GEO	Ratio STR	Resistenza	Gerarchia delle Resistenze
CAVALLETTO	Stage A	0	2887.575	2176.087	0	0		NO
CAVALLETTO	FONDO SCAVO	501.101	2886.239	2176.087	0.174	0.23		NO

Verifiche Tiranti NTC2018: A1+M1+R1 (R3 per tiranti)

Design Assumption: NTC2018: A1+M1+R1 (R3 per tiranti)		Tipo Risultato: Verifiche Tiranti		NTC2018 (ITA)				Gerarchia delle Resistenze
Tirante	Stage	Sollecitazione (kN)	Resistenza GEO (kN)	Resistenza STR (kN)	Ratio GEO	Ratio STR		
CAVALLETTO	Stage A	0	1458.371	2176.087	0	0		
CAVALLETTO	FONDO SCAVO	656.266	1457.696	2176.087	0.45	0.302		

Verifiche Tiranti NTC2018: A2+M2+R1

Design Assumption: NTC2018: A2+M2+R1		Tipo Risultato: Verifiche Tiranti			NTC2018 (ITA)			
Tirante	Stage	Sollecitazione (kN)	Resistenza GEO (kN)	Resistenza STR (kN)	Ratio GEO	Ratio STR	Resistenza	Gerarchia delle Resistenze
CAVALLETTO	Stage A	0	1458.371	2176.087	0	0		
CAVALLETTO	FONDO SCAVO	568.748	1457.696	2176.087	0.39	0.261		

Inviluppo Verifiche Tiranti (su tutte le D.A. attive)

Tipo Risultato:									
Verifiche Tiranti									
Tirante	Stage	Sollecitazione (kN)	Resistenza GEO (kN)	Resistenza STR (kN)	Ratio GEO	Ratio STR	Resistenza	Gerarchia delle Resistenze	Design Assumption
CAVALLETTO	FONDO SCAVO	656.266	1457.696	2176.087	0.45	0.302			NTC2018: A1+M1+R1 (R3 per tiranti)